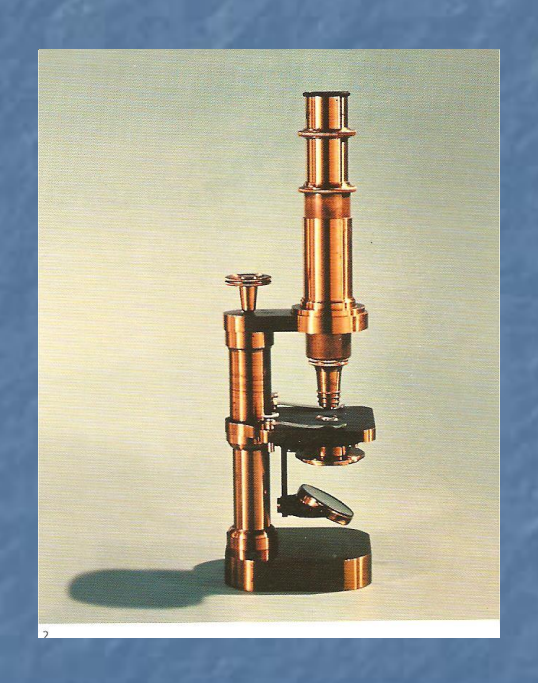
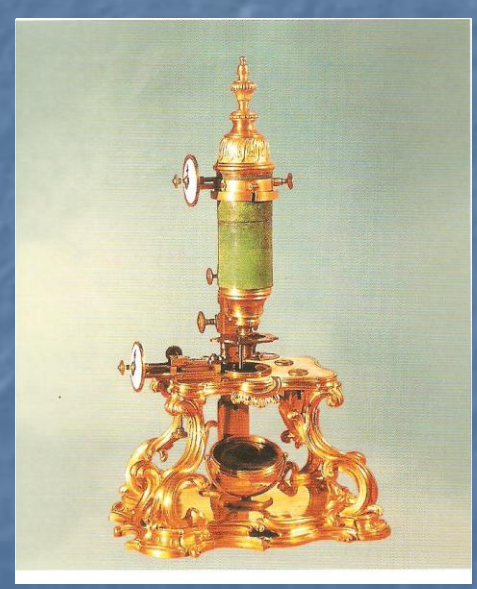
# CONCEPTOS BÁSICOS DE MICROSCOPÍA

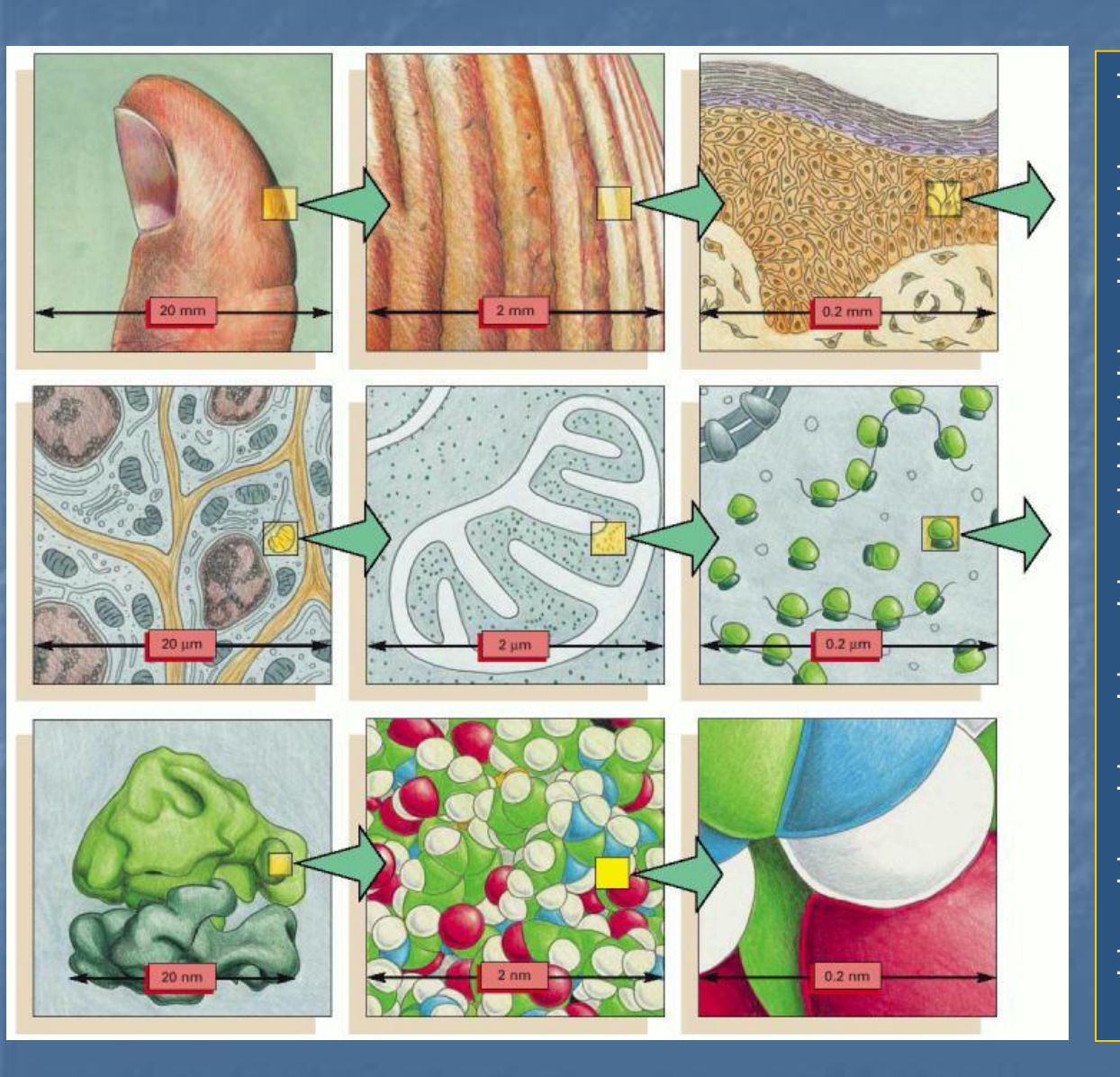
Patricia Pérez-Alzola, MSc





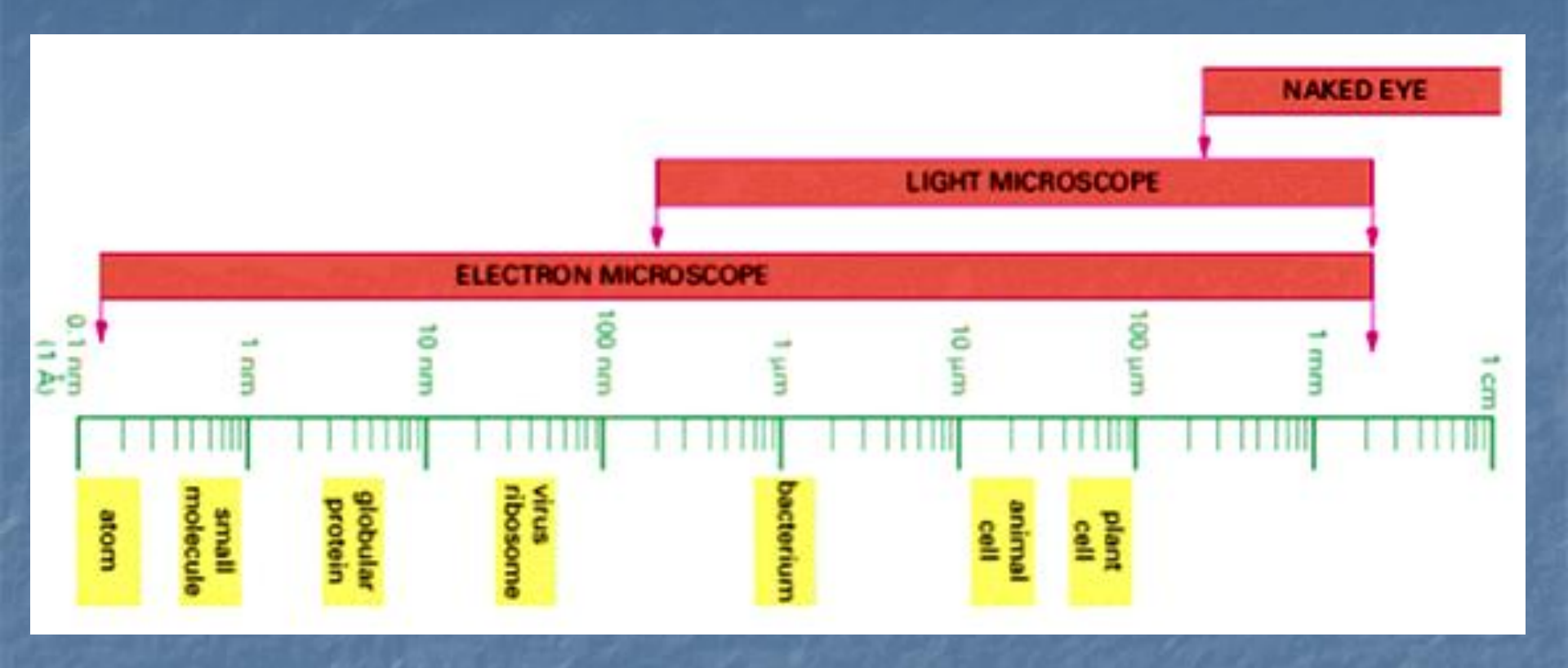


# TÉCNICAS DE MICROSCOPÍA



1611 **Kepler** microscopio compuesto 1655 **Hooke** (célula) 1674 **Leeuwenkoek** (protozoos) 1838 Schleiden y Schawn Teoría Celular 1879 **Abbé** mejora microscopio 1882 **Koch** tinciones 1886 **Zeiss** mejora microscopio 1930 Lebedeff Mic. de Interferencia 1931 Ruska y col. MET 1932 **Zernicke** Mic. De Contraste de fase 1952 **Normansky** Mic. Interfer. Diferencial 1965 Cambridge Int. **MEB** 1968 Petran y col. Mic. Confocal

## PODER DE RESOLUCIÓN

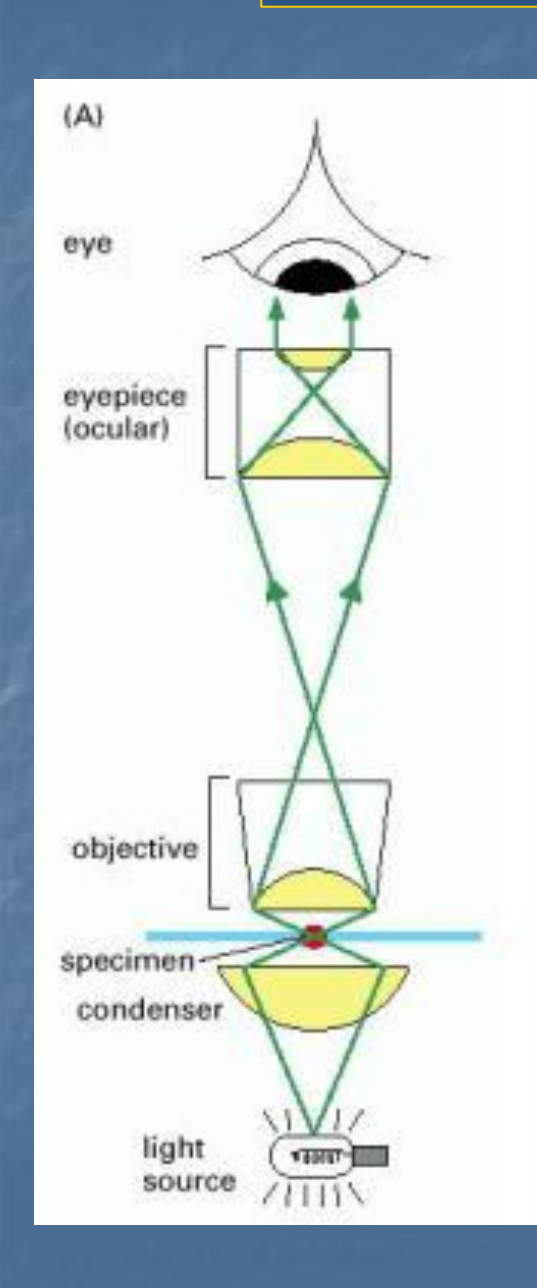


Microscopio de Luz : 0,2 μm (200 nm)

Microscopio Electrónico de Transmisión: 0,1 nm

Microscopio Electrónico de Barrido: 10 nm

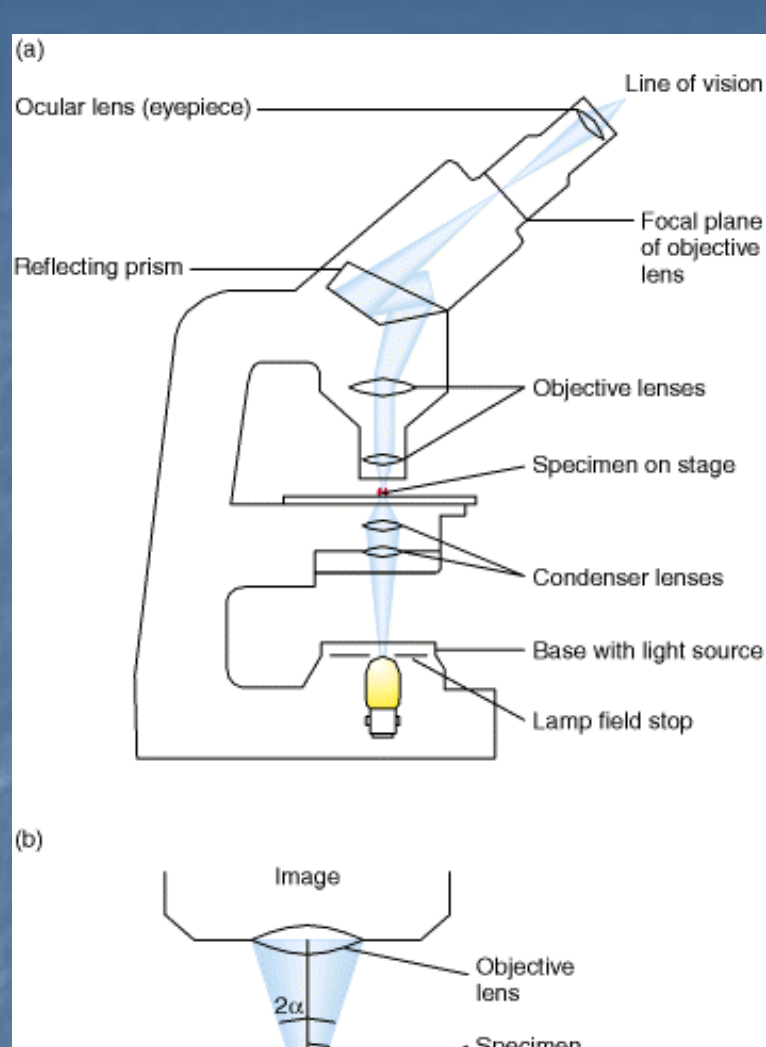
#### MICROSCOPIA OPTICA O DE LUZ

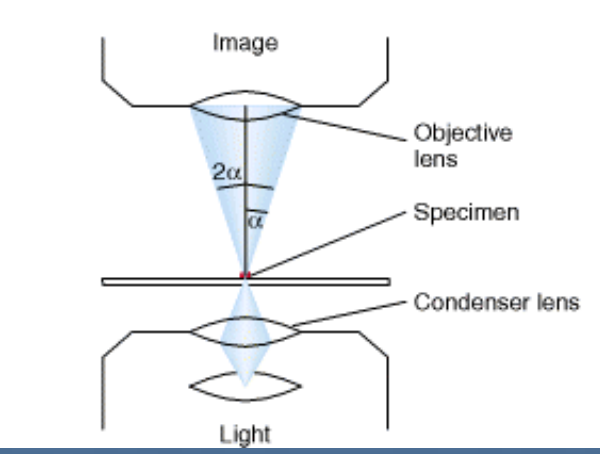


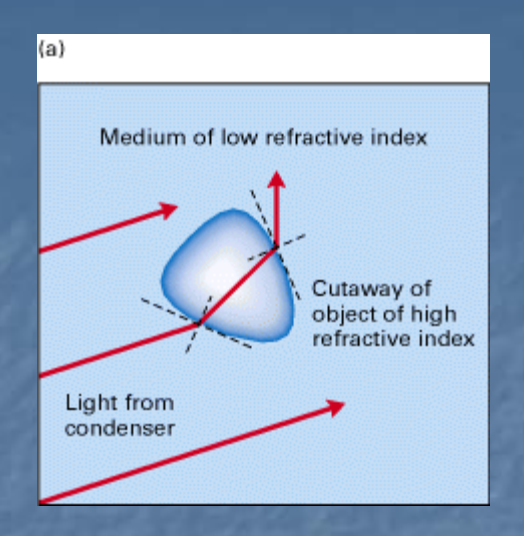




- M. de Luz corriente o de Campo Claro
- M. de Contraste de Fase
- M. de Interferencia (DIC)
- M. de Campo Oscuro
- M. de Fluorescencia
- M. Confocal







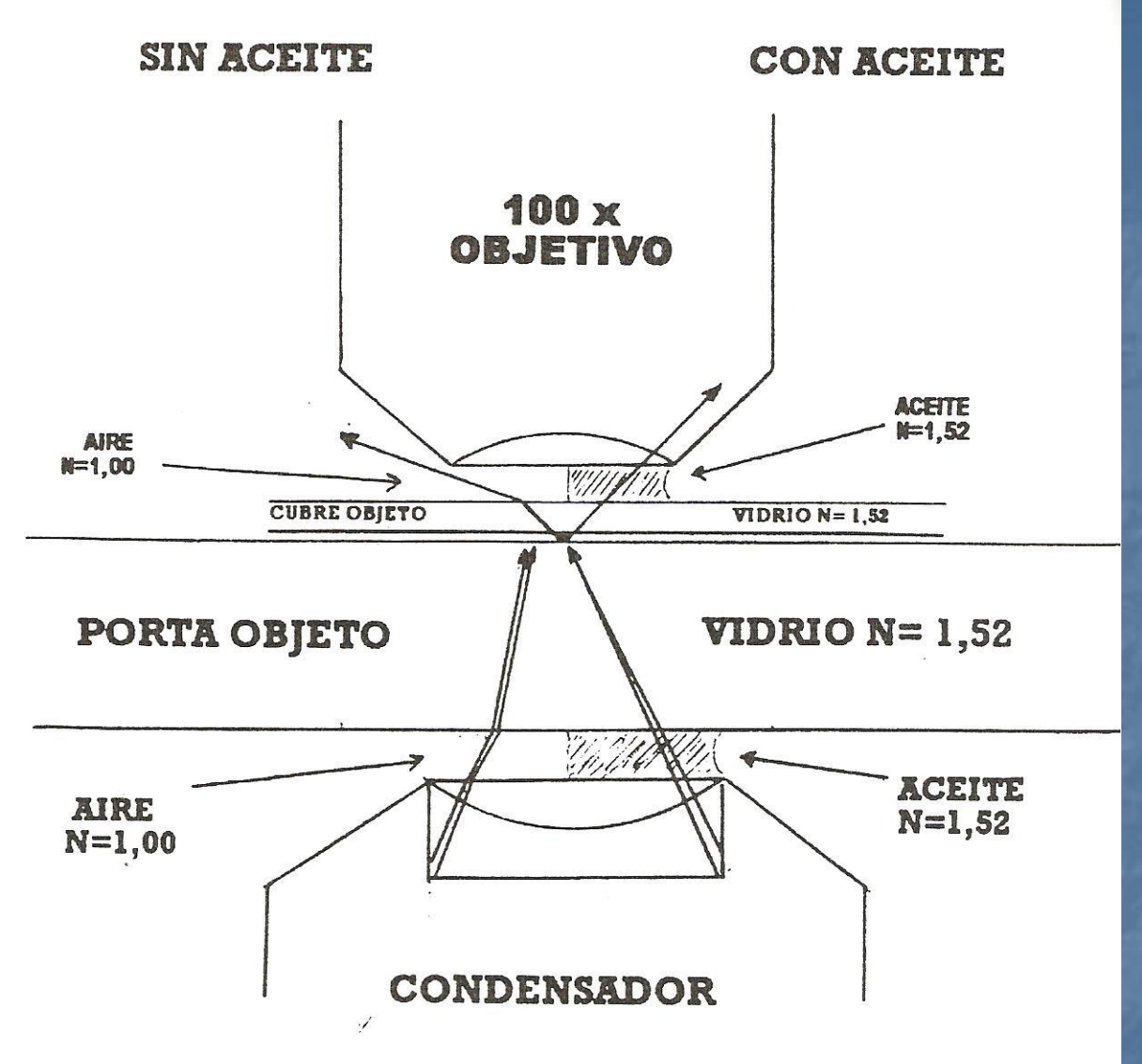
**Resolución**:  $0,61 \lambda / n sen \alpha (A.N)$ 

 $\lambda$ : longitud de onda de la luz (luz blanca 0,53um)

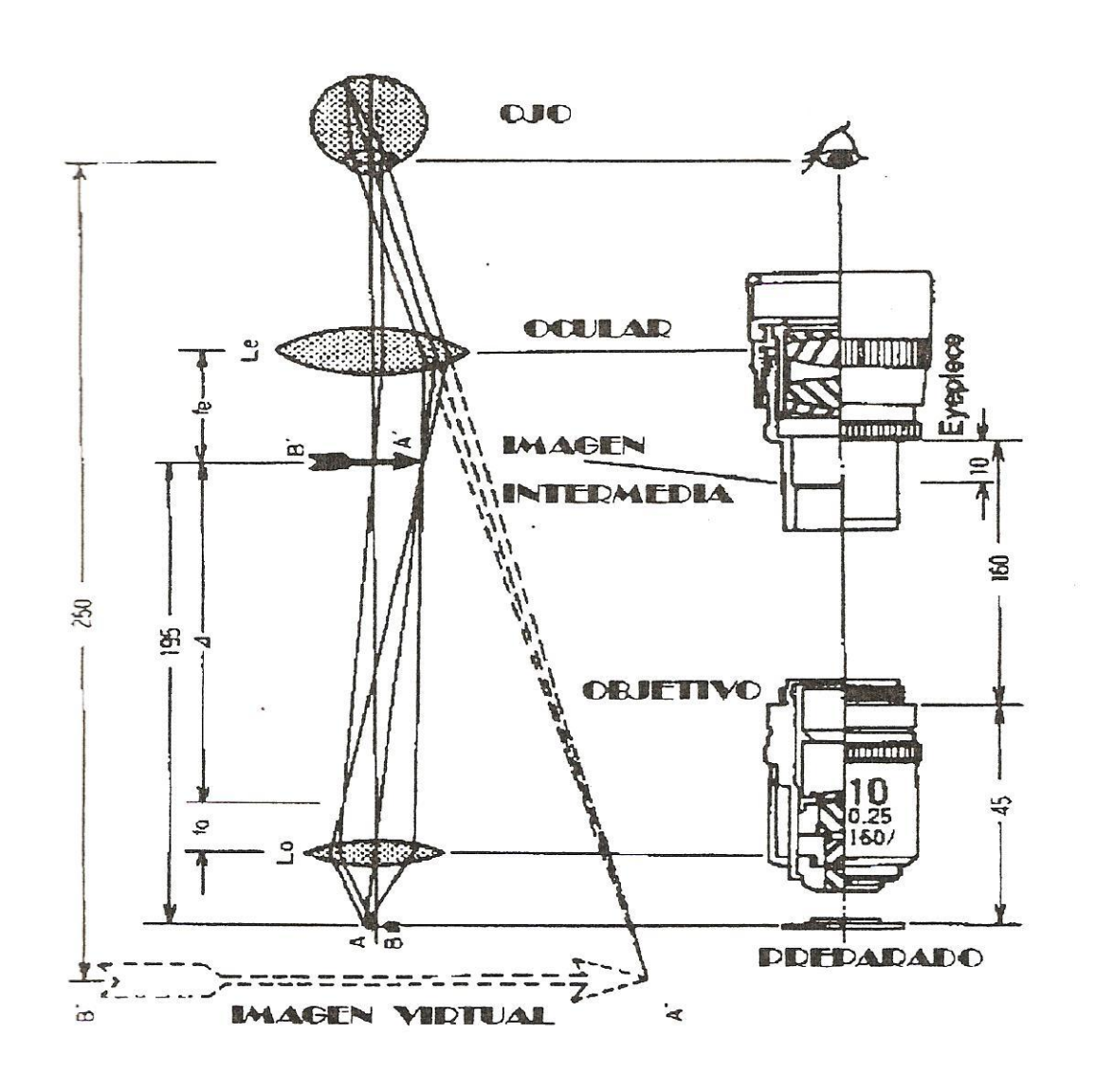
n: índice de refracción del medio (1,4 aceite de inmersión)

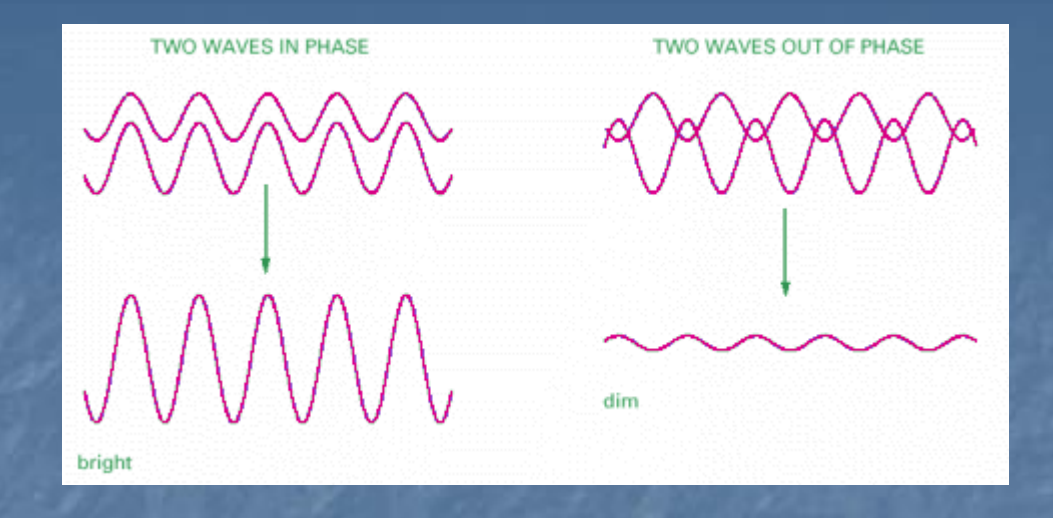
α: la mitad del ángulo del cono de luz (el máximo posible es 180°, por tanto sen es 1)

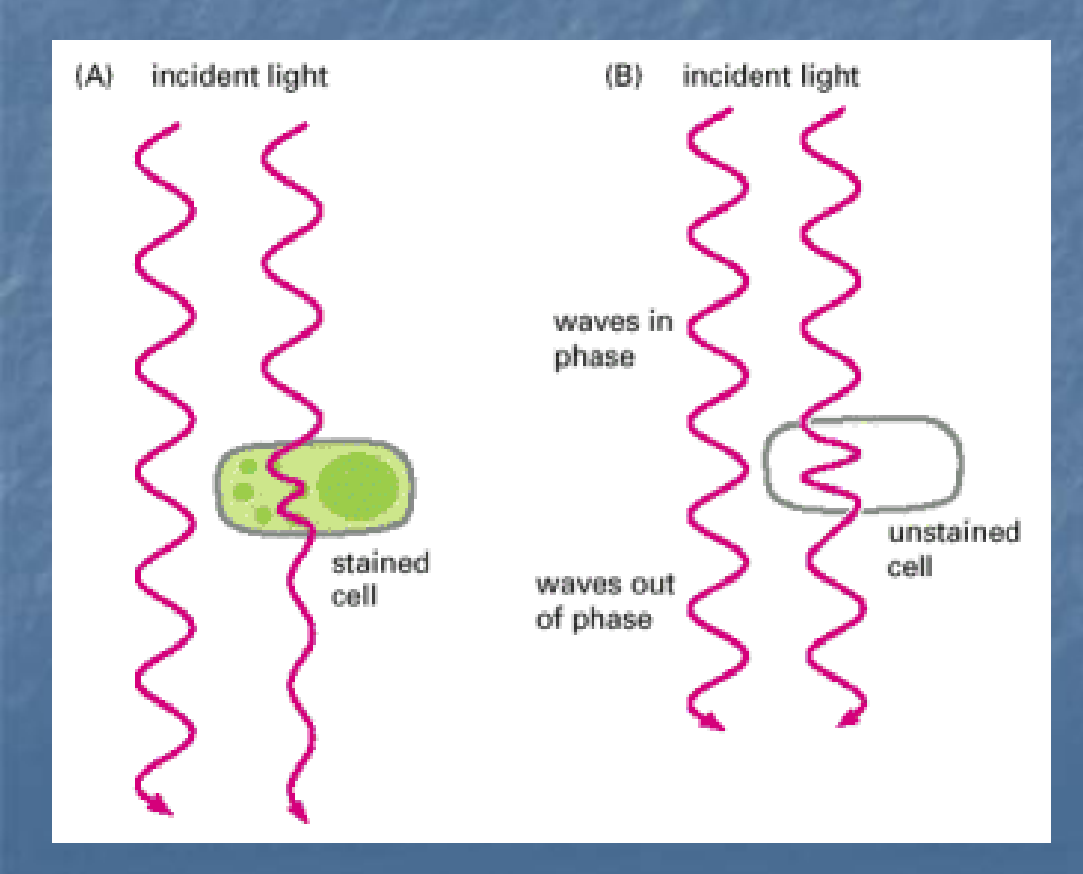
Aumento total: aumento del ocular x aumento del objetivo



Se observa que con un índice de refracción igual al del vidrio, el haz de luz sigue una trayectoria recta, contrariamente a lo que sucede por ejemplo con el aire en el cual el haz de luz se refracta al pasar del vidrio al aire. El vidrio tiene un índice de refracción de 1,525 y el aire tienen un índice de refracción de 1,00 por lo tanto se trata de igualar el índice de refracción del vidrio con el de un medio de inmersión.





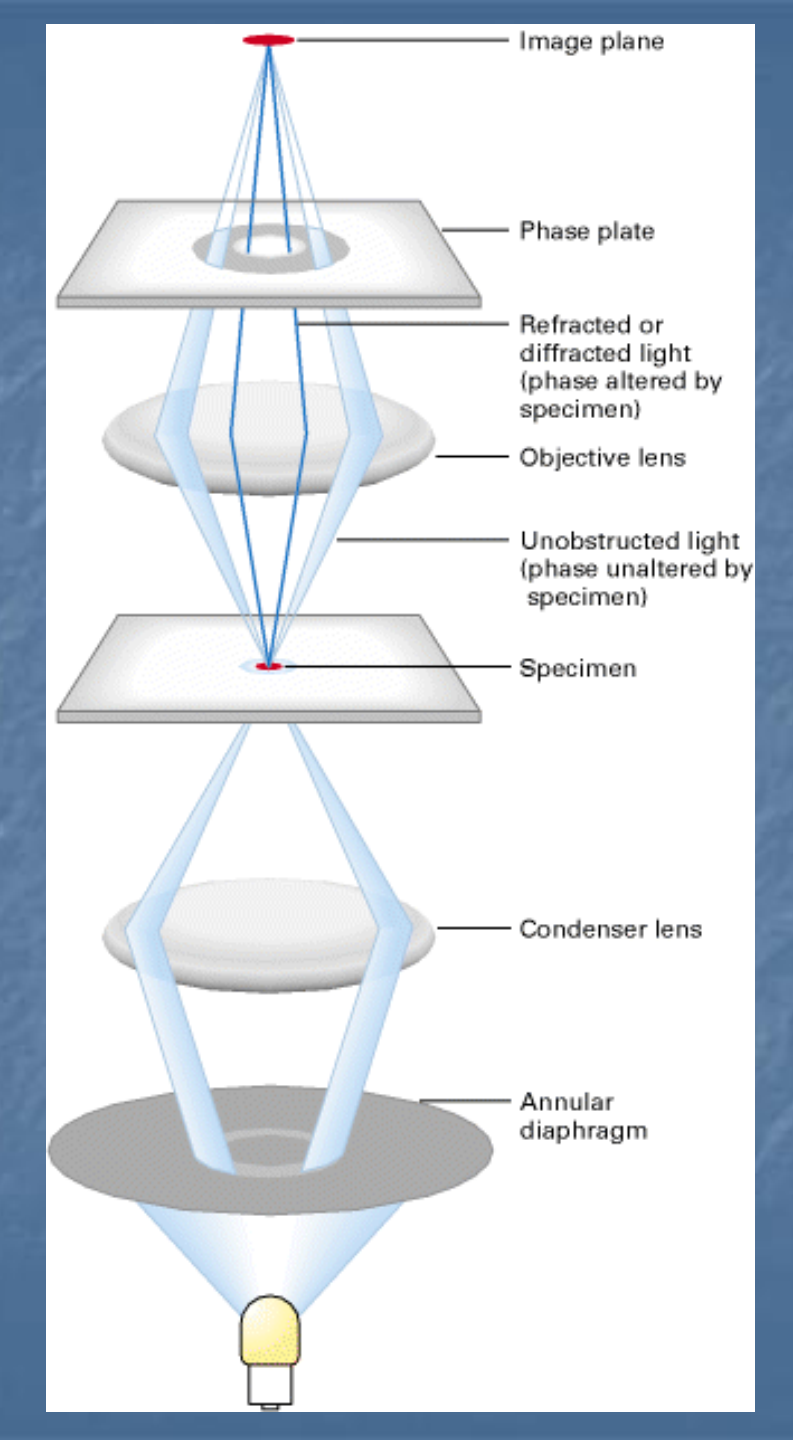


#### M. de Contraste de Fase:

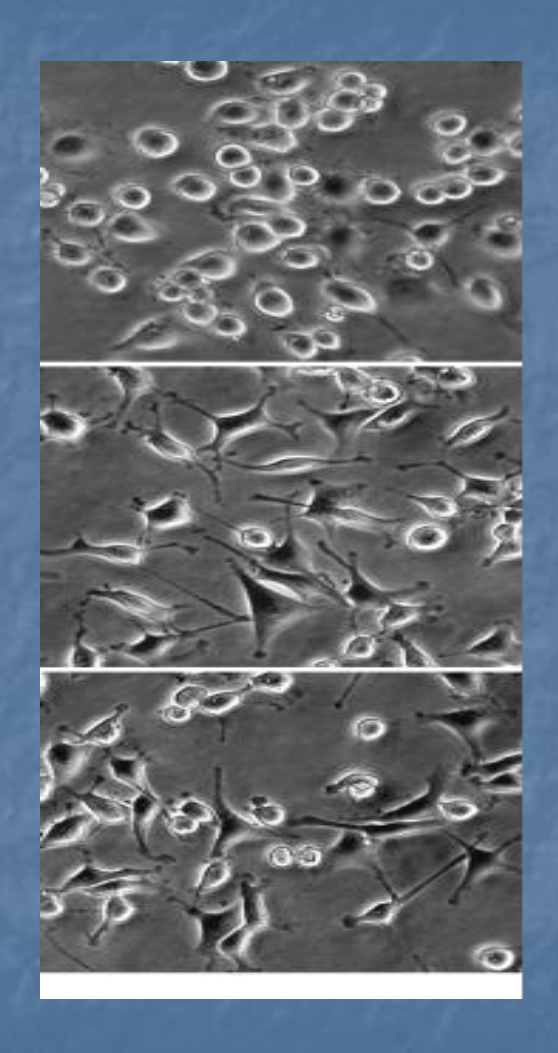
Genera una imagen en la que el grado de luminosidad u oscuridad de una zona depende de su índice de refracción, el que produce cambios en la fase de la onda luminosa

# M. de Interferencia o de Normanski:

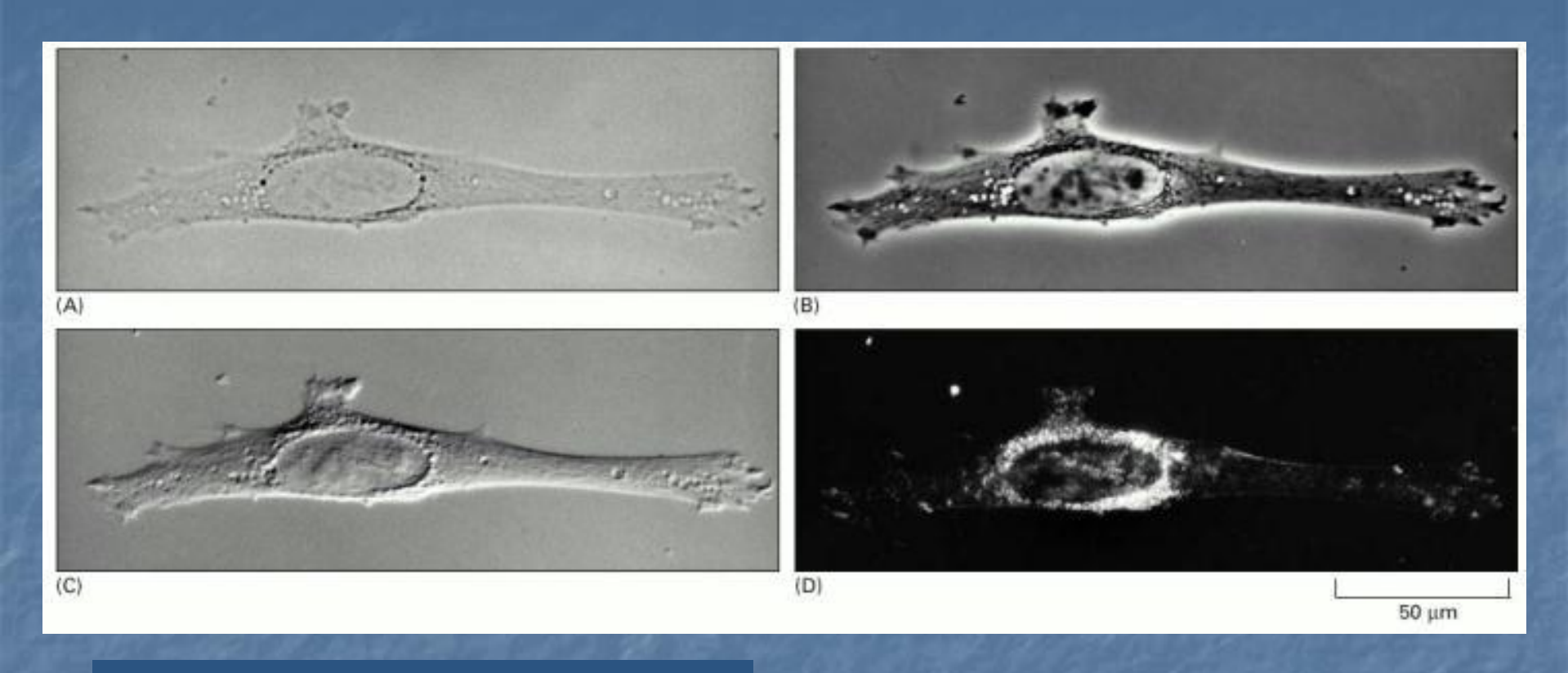
Genera una imagen en la que la muestra parece formar una sombra sobre un lado dada por una diferencia en el índice de refracción y el grosor de la muestra



# **Microscopio de Contraste de Fase**



#### Fibroblastos observados con distintos tipos de Microscopios

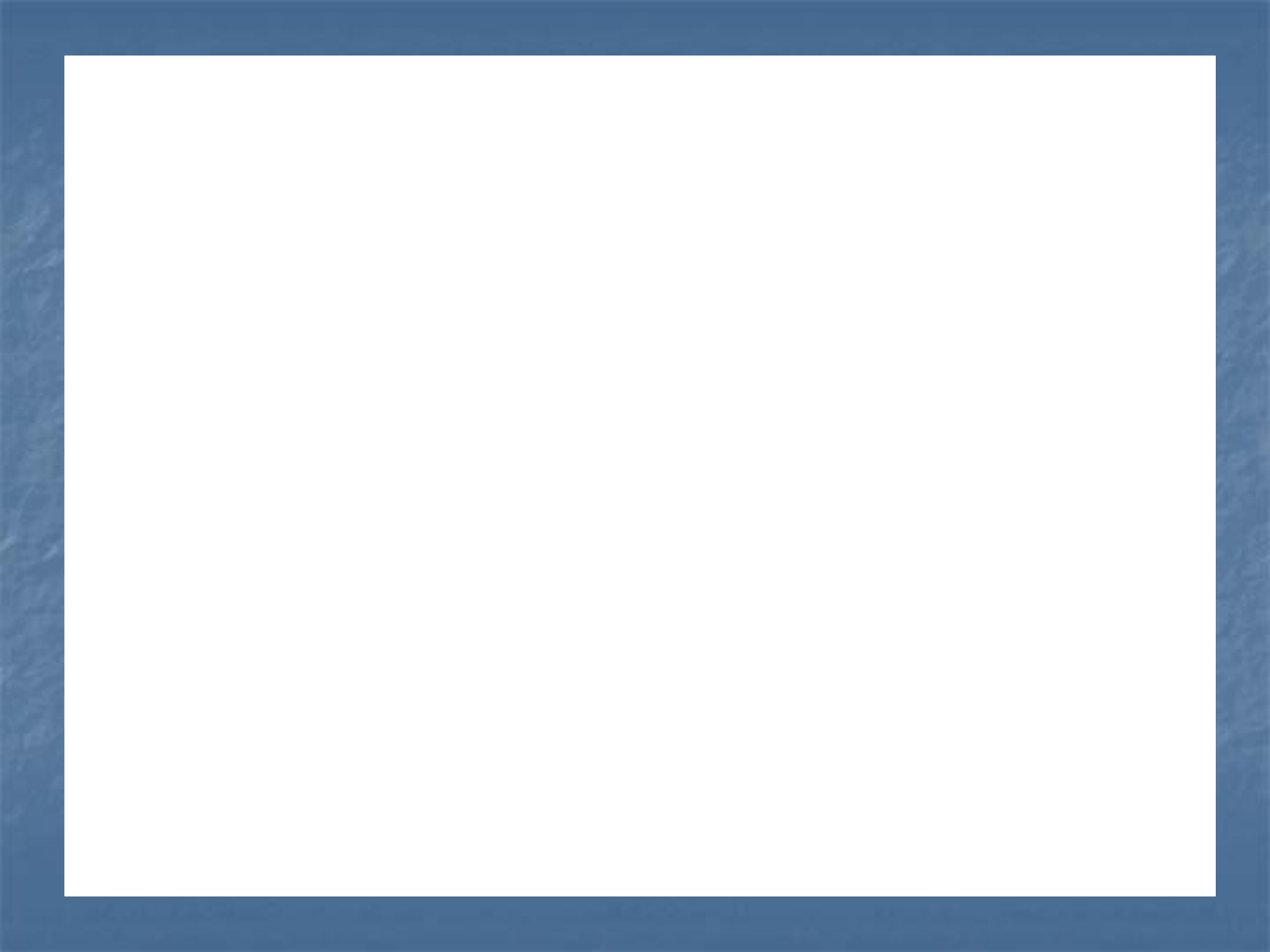


A: Microscopia de Campo Claro

B: Microscopia de Contraste de Fase

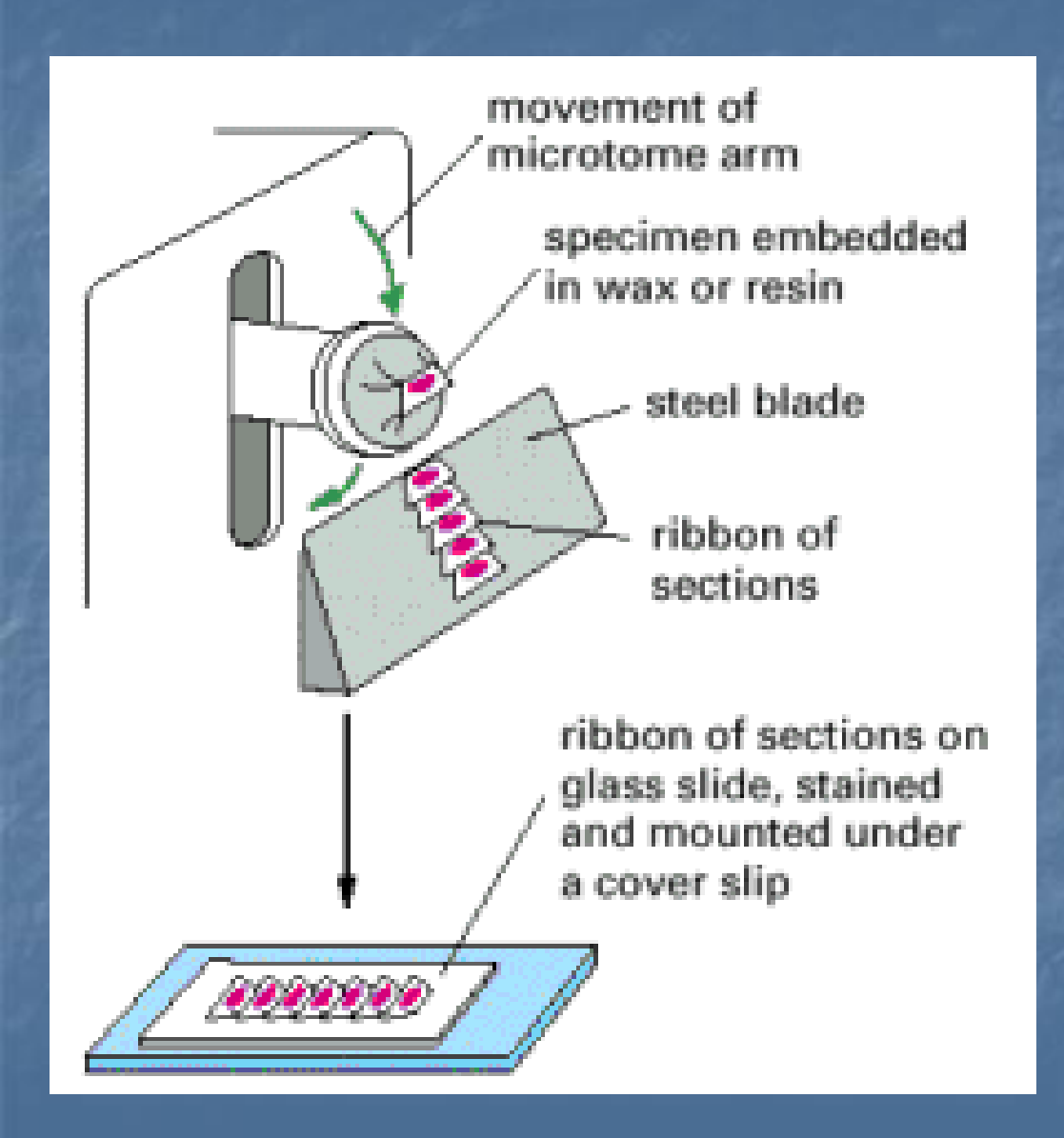
C: Microscopia de Normanski

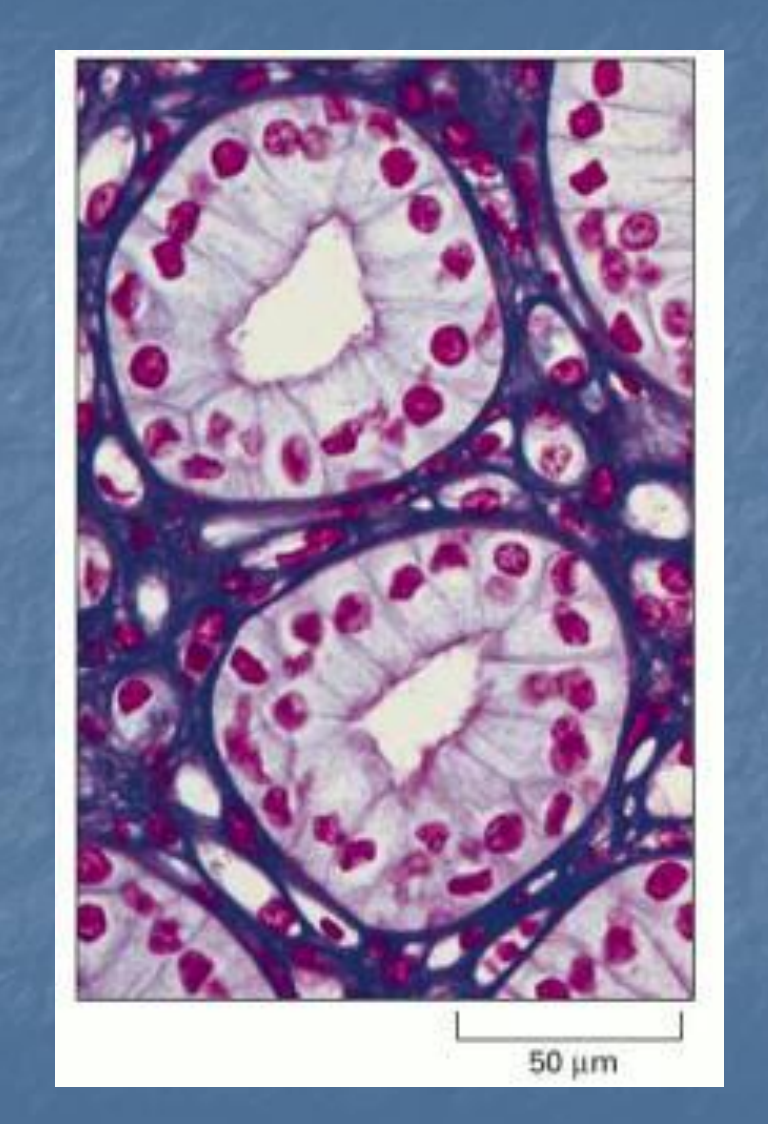
D: Microscopia de Campo Oscuro



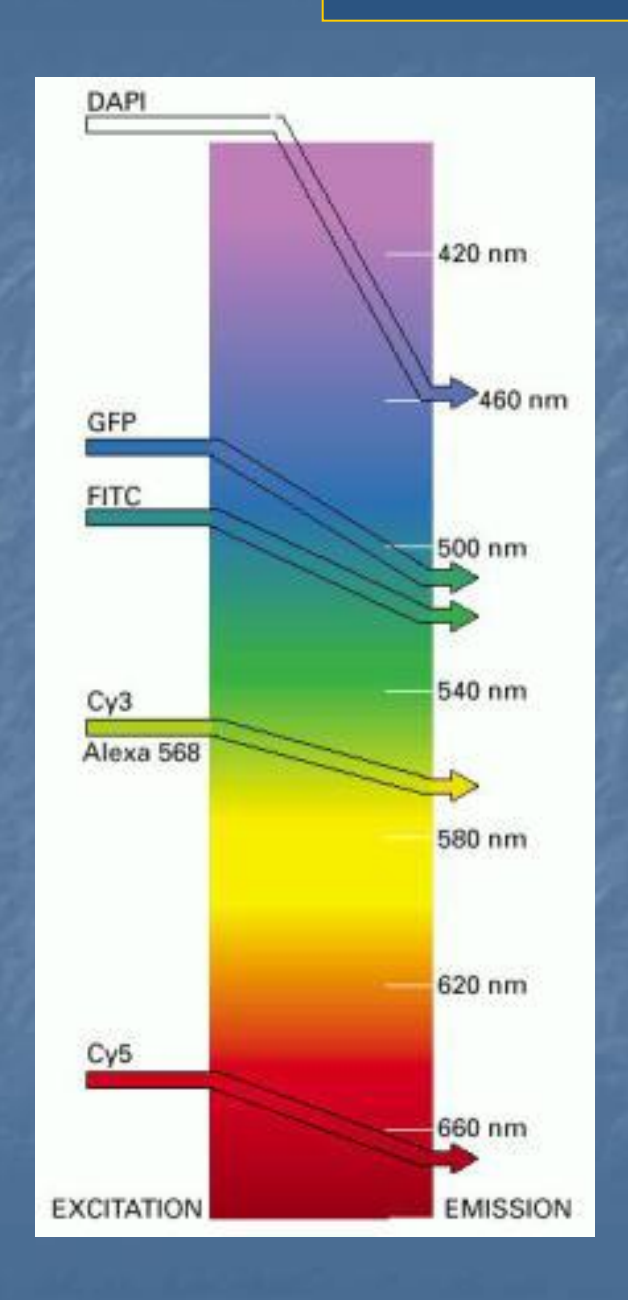
## Micrótomo

#### **Tinción: Hematoxilina-eosina**





#### MICROSCOPIA DE FLUORESCENCIA



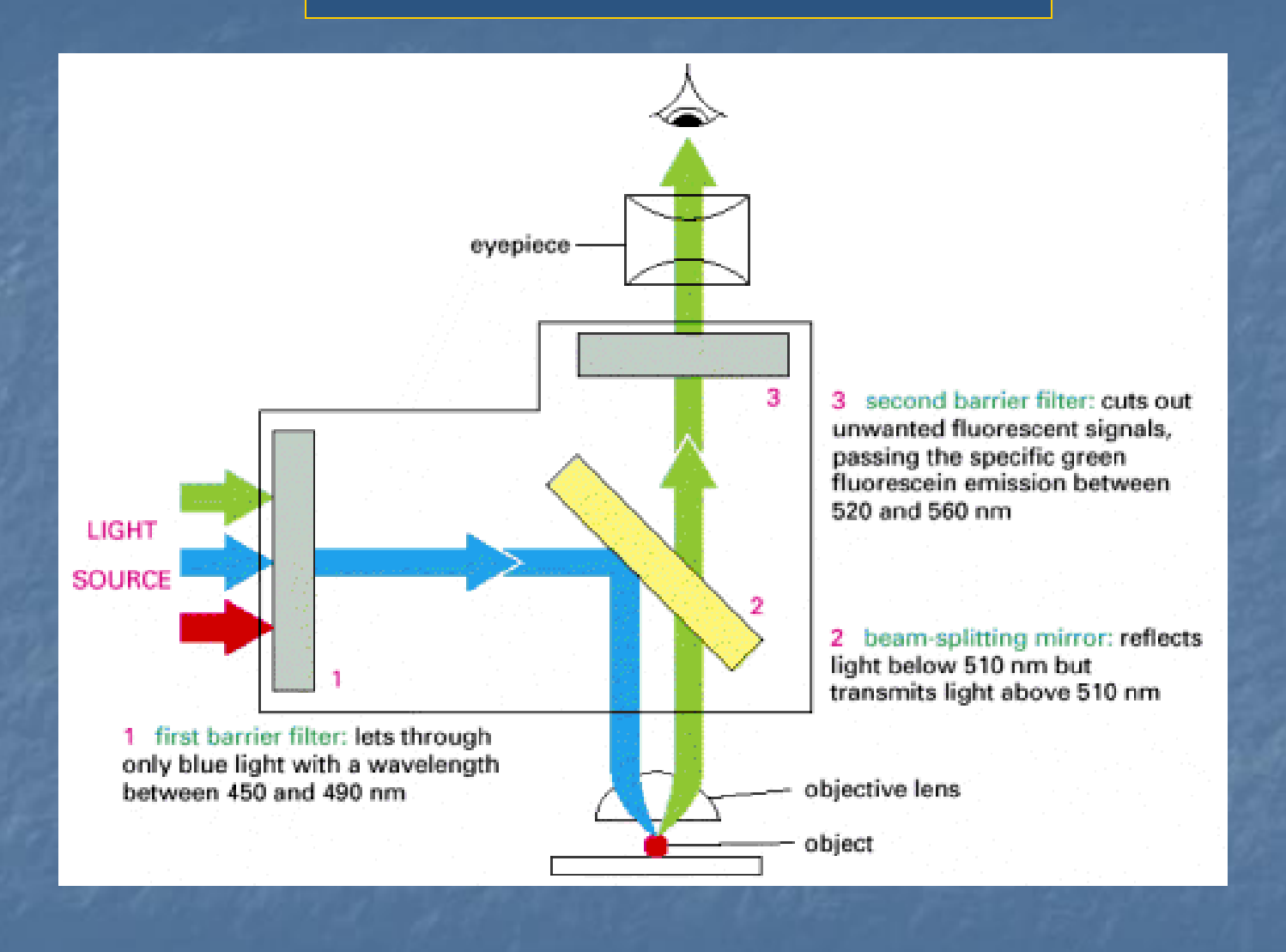
**Molécula fluorescente**: absorbe luz en una longitud y emite luz en una longitud de onda distinta

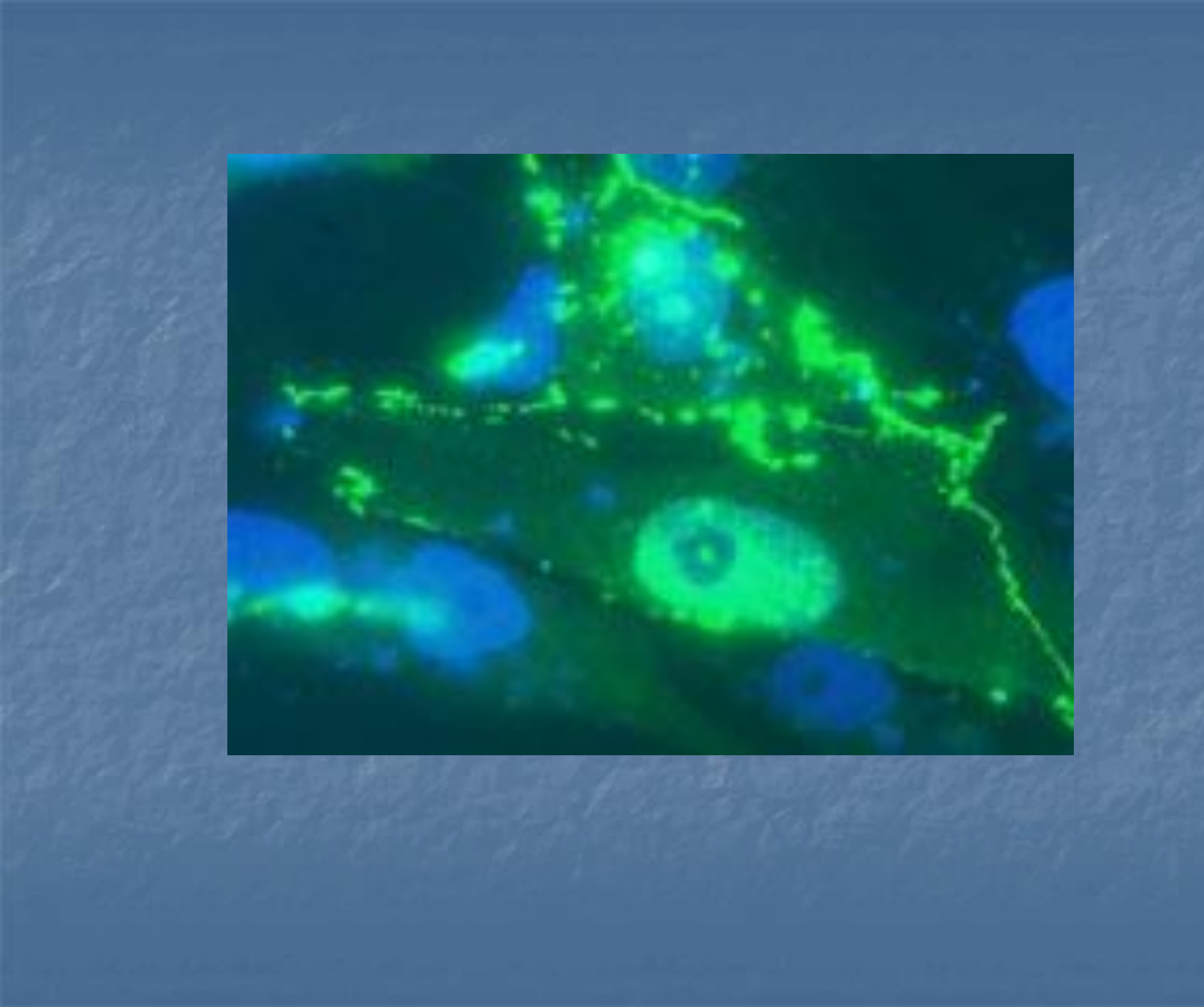
Dapi, Hoecht = tinción de cromatina Absorben en UV emiten en azul

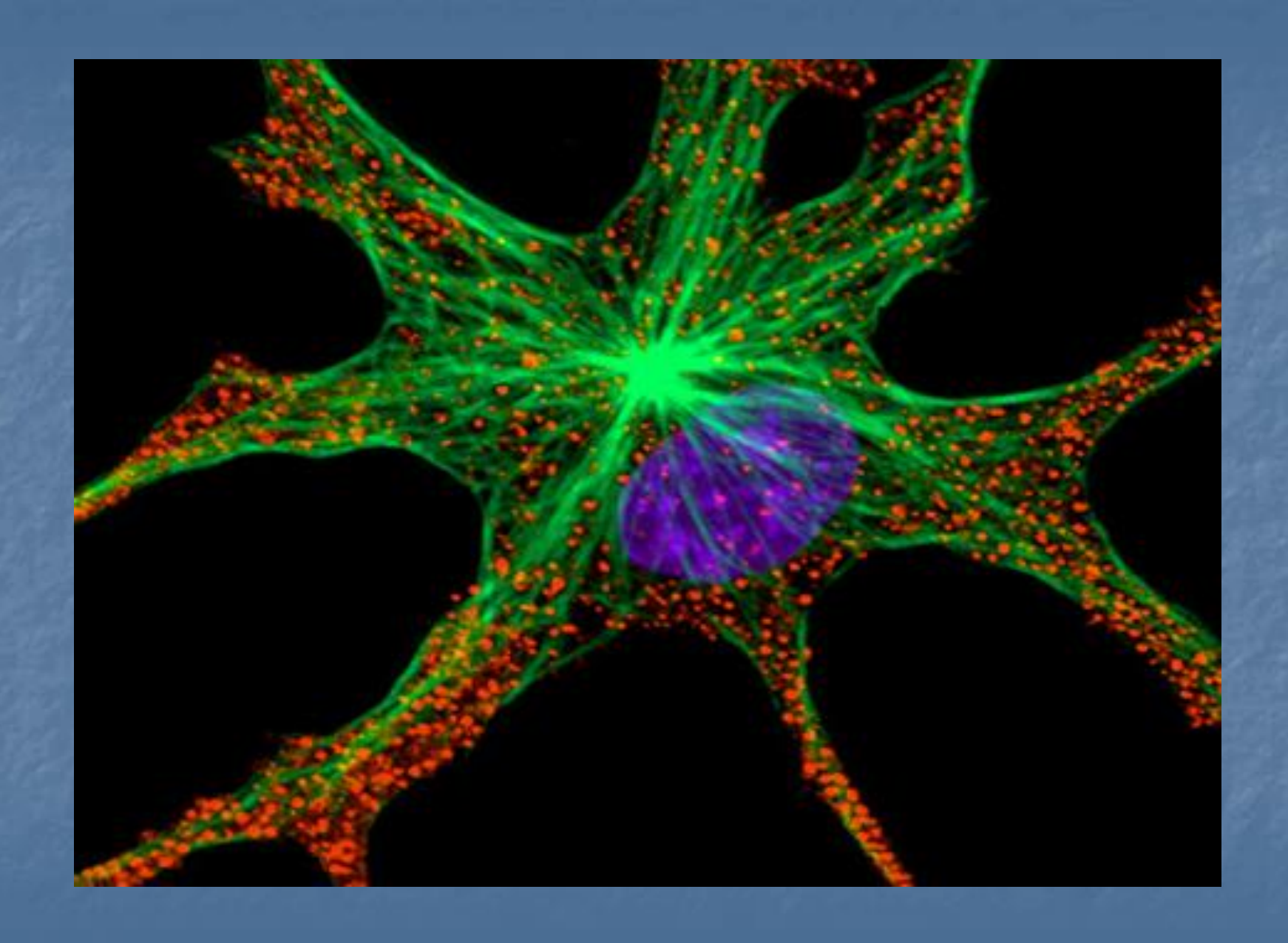
Fluoresceina Absorbe en el azul emite en el verde

Rodamina Absorbe en el verde-amarillo emite en el rojo

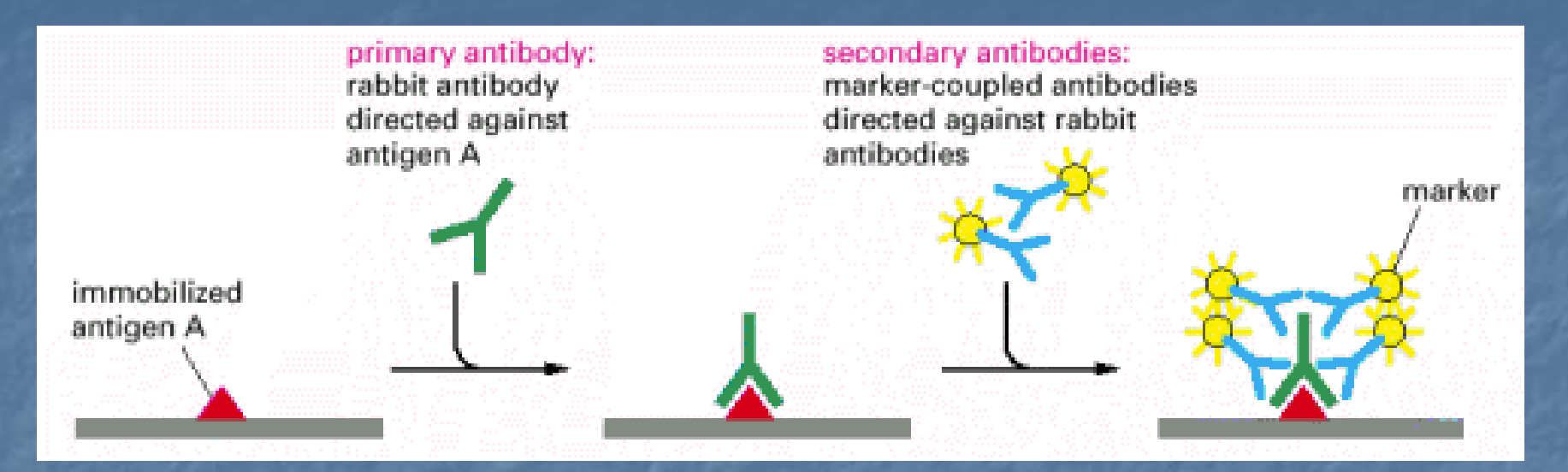
#### MICROSCOPIO DE FLURESCENCIA

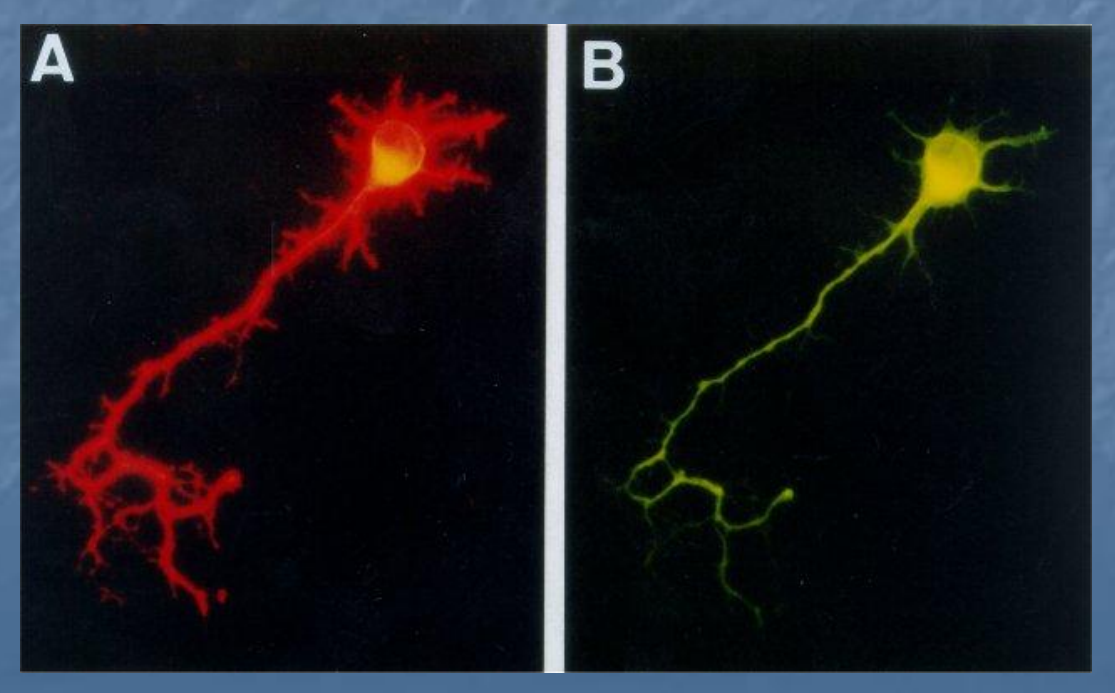




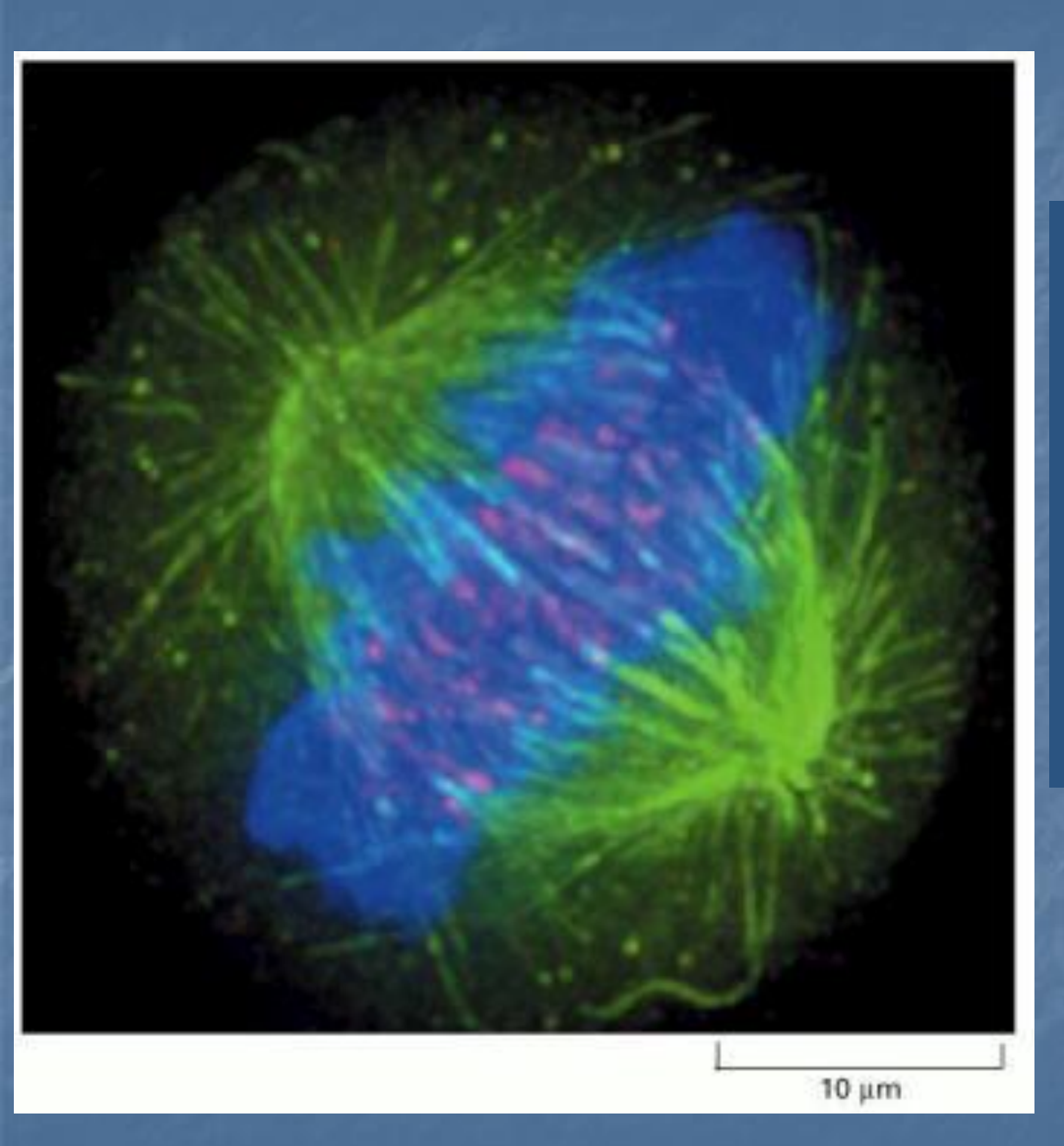


# INMUNOFLUORESCENCIA





## COLOCALIZACIÓN DE MOLÉCULAS

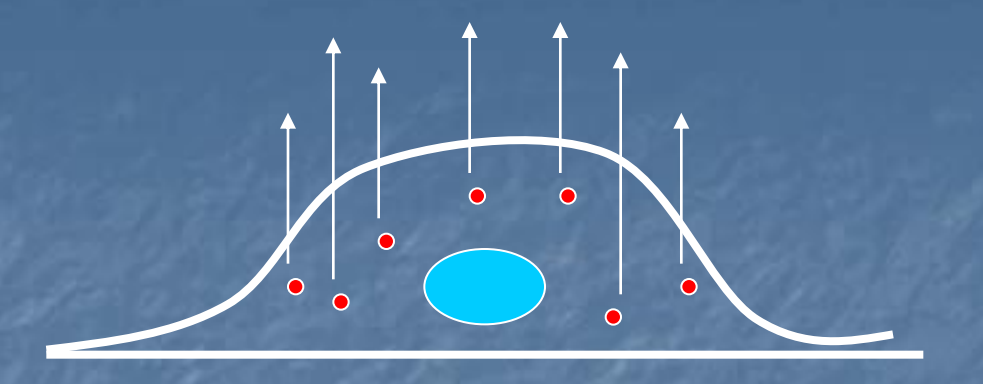


Cromosomas: DAPI

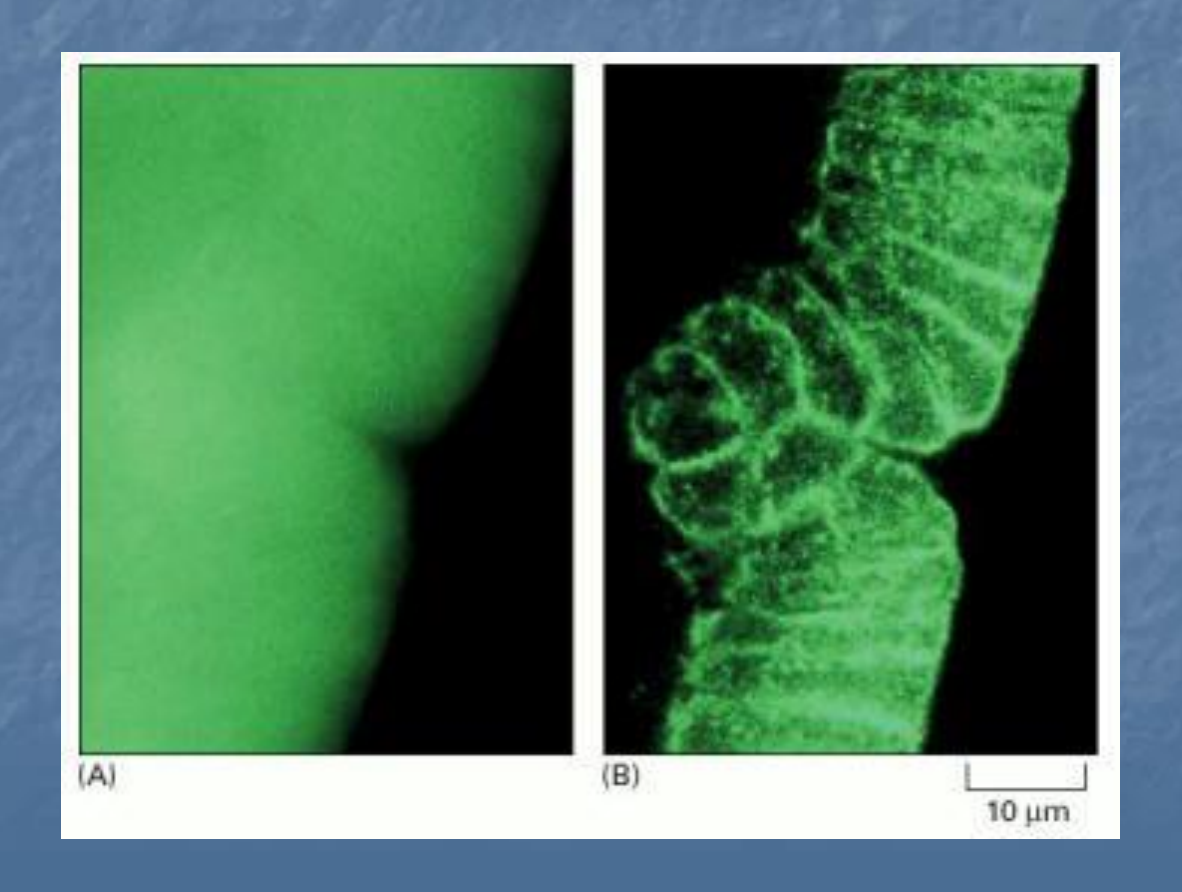
Microtúbulos: Anticuerpos anti - Tubulina en conejo

Segundo Ac Anti IgG conejo-FITC

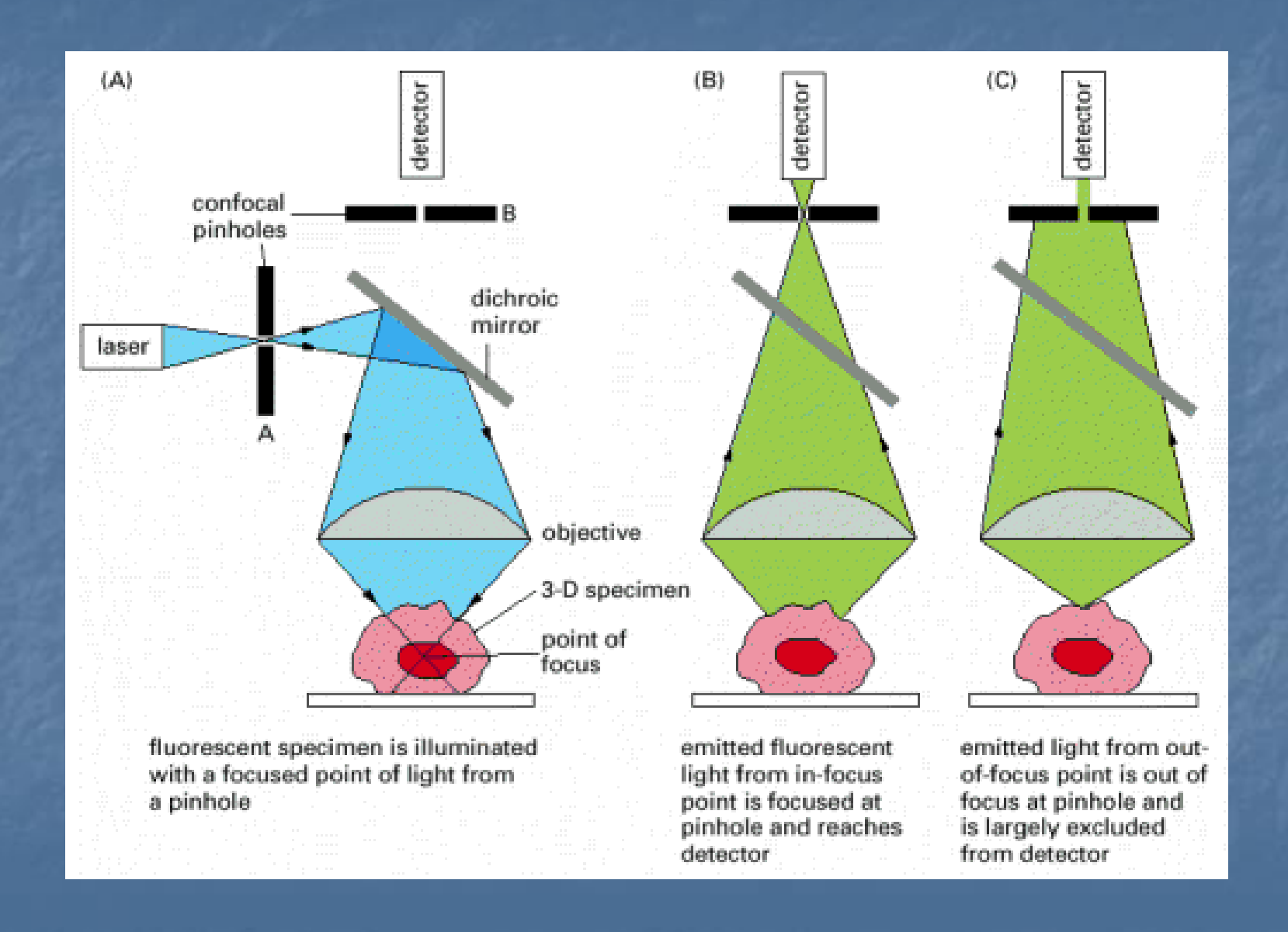
Centrómeros: Anticuerpo anti- Proteína cenrtomérica en ratón Segundo Ac anti IgG ratón- Rodamina



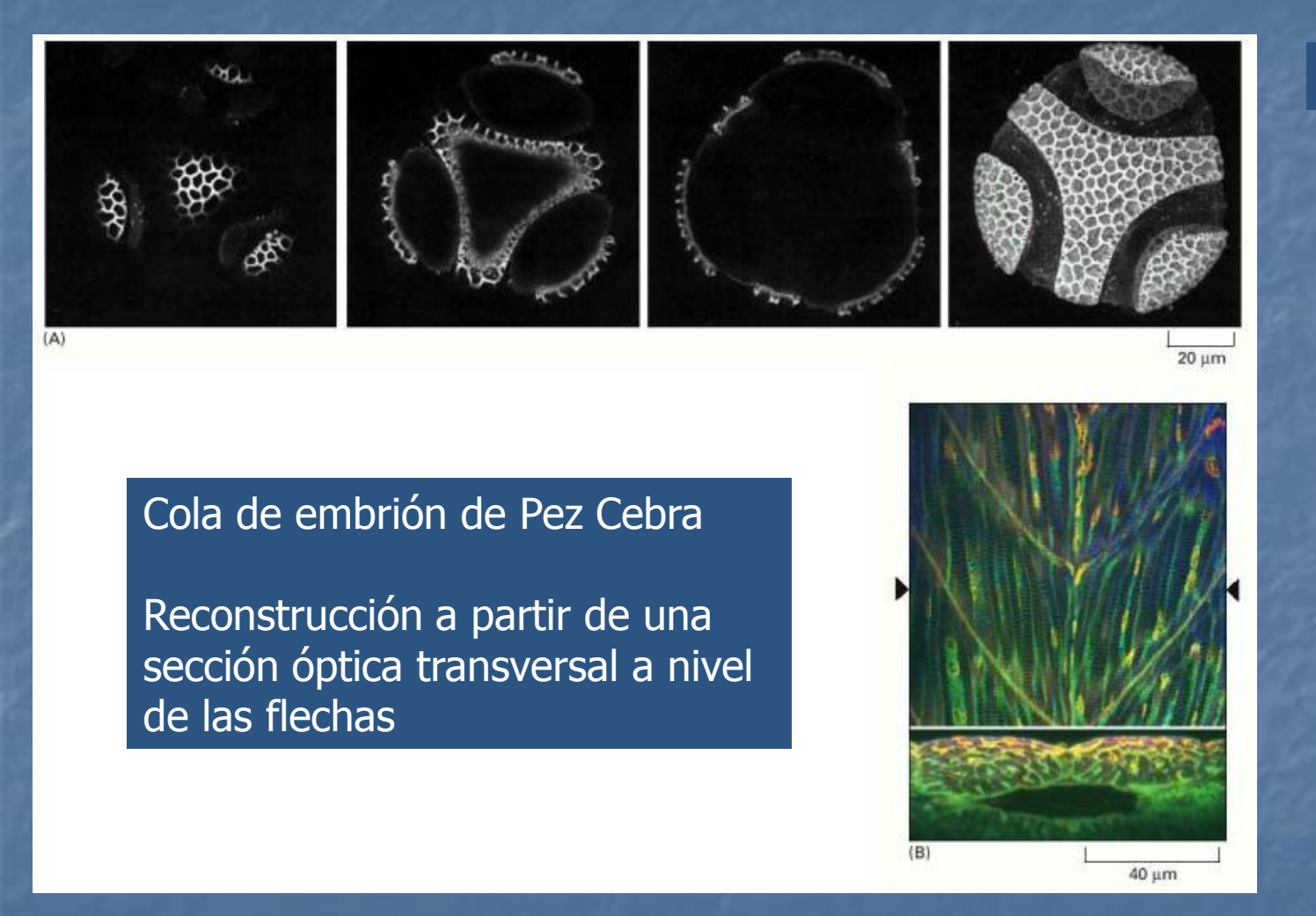
## El microscopio confocal hace más nítidas las imágenes



#### **MICROSCOPIA CONFOCAL**



#### Construcción tridimensional con microscopia Confocal



Grano de polen

#### Visualización de moléculas en células vivas

Microinyección: Célula por célula

**Electroporación**: Se crean poros en la membrana plasmática sin dañar las

membranas internas de las células

Vesículas membranosas: se deben fusionar con la membrana plasmática

#### **Indicadores Fluorescentes:**

Uno que se une fuertemente a Ca<sup>2+</sup> y emite a una longitud de onda distinta a cuando está libre. Se pueden estudiar los cambios en las concentraciones de Ca<sup>2+</sup>, segundo a segundo.

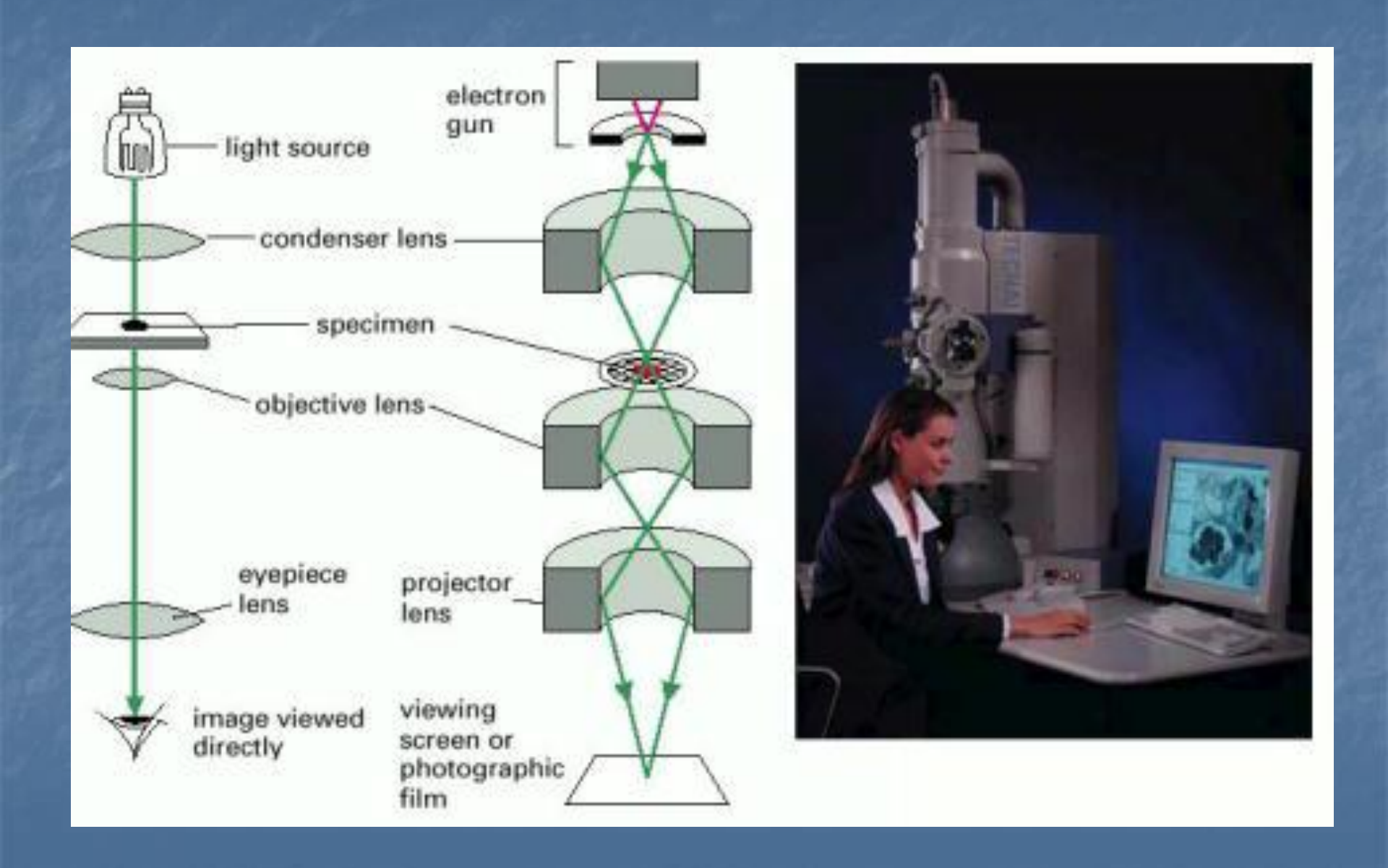
#### **Análogos Fluorescentes:**

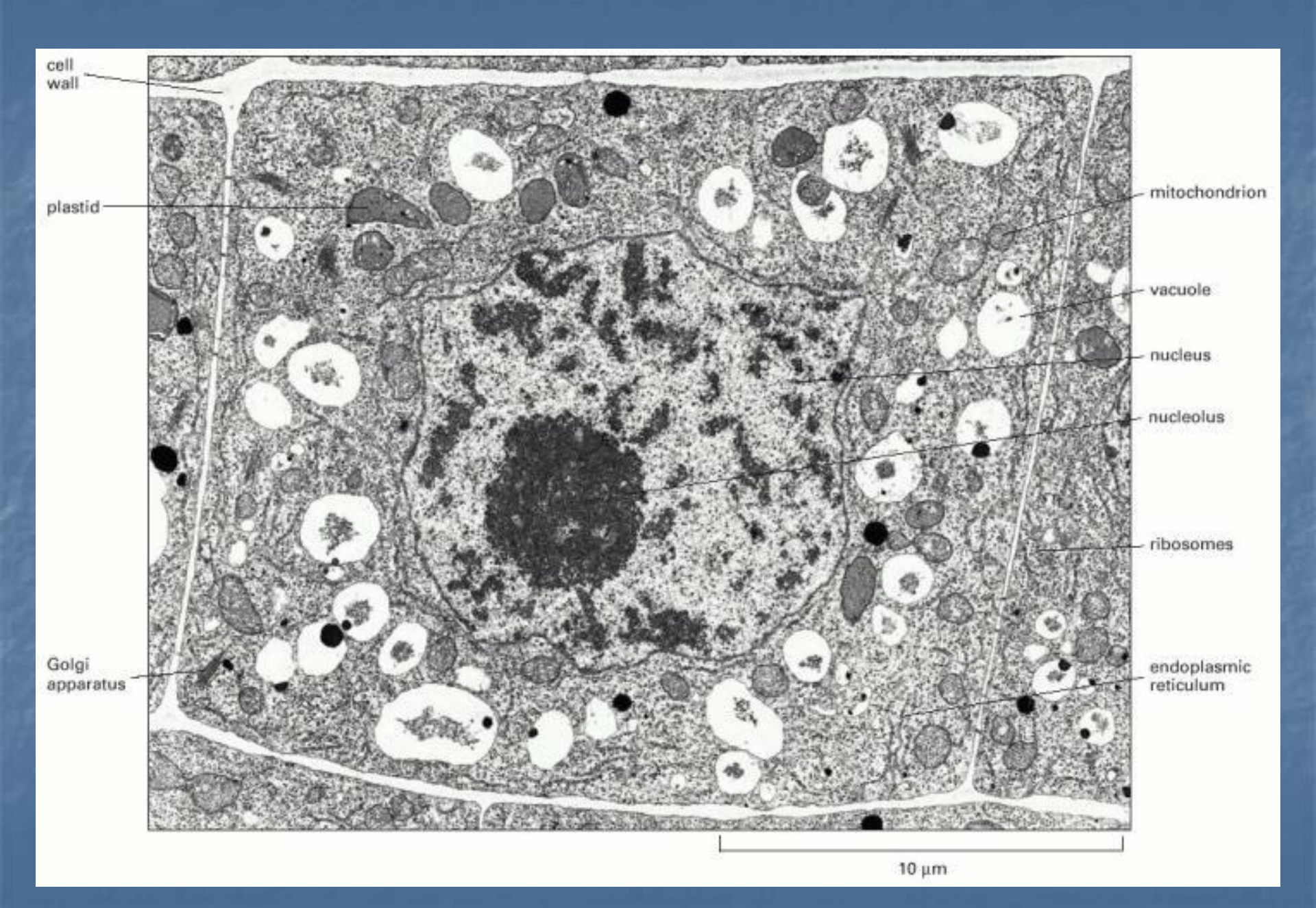
Una proteína purificada es acoplada a una tinción fluorescente. Se puede visualizar su destino dentro de la célula

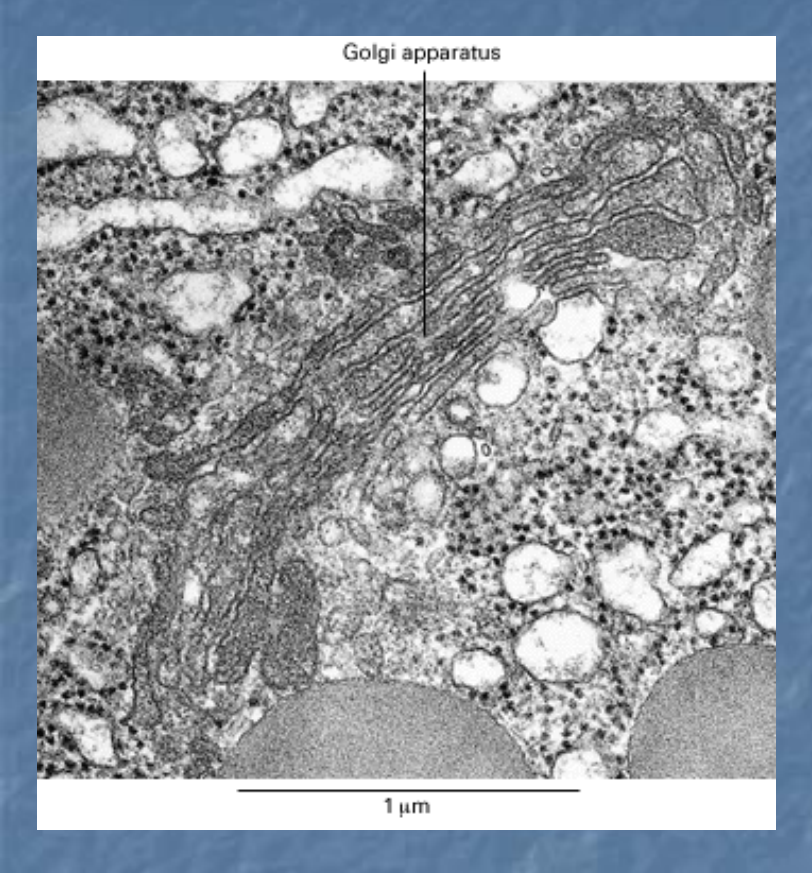
#### **GFP (Proteína Fluorescente Verde)**

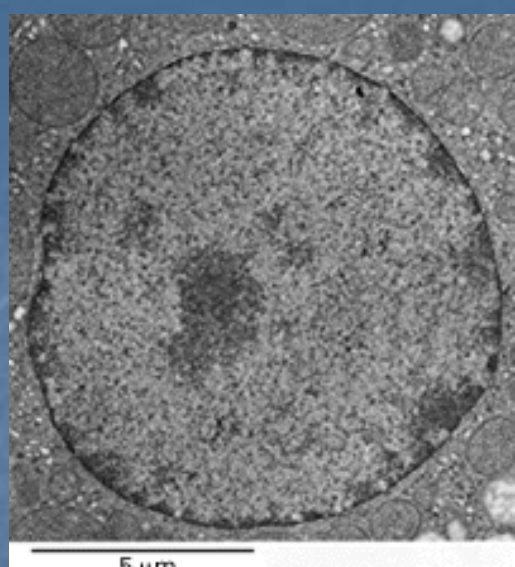
Molécula reportera para monitorear la expresión génica. La secuencia de DNA codificante de GFP se puede insertar al principio o al final de un gen para otra proteína, o después de una secuencia regulatoria

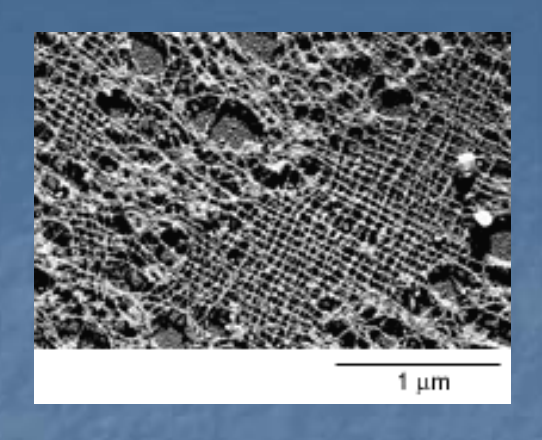
# MICROSCOPIA ELECTRÓNICA DE TRANSMISIÓN



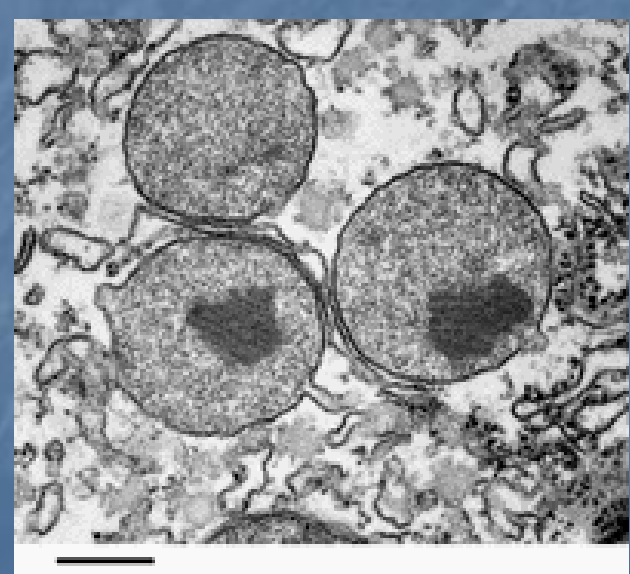




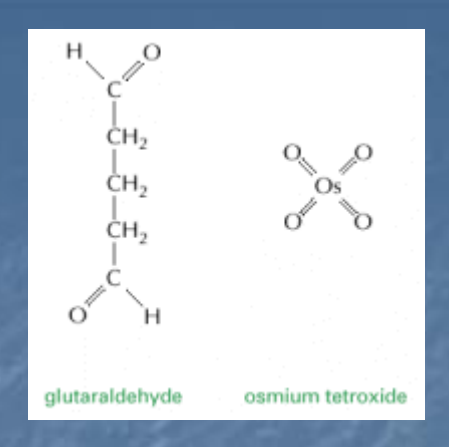








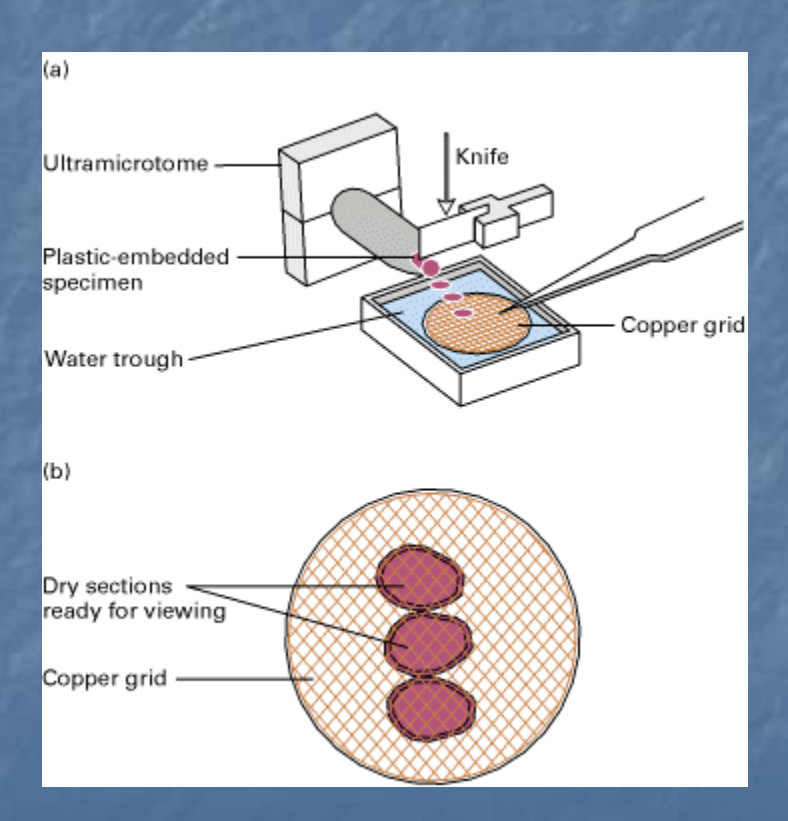
200 nm



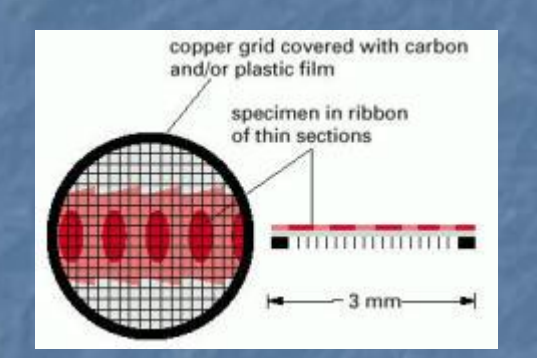
#### Fijadores:

Gluteraldehido: Entrecruzamientos entre proteínas Tetróxido de Osmio: Estabilización de membranas

Resinas monoméricas que polimerizan para formar un bloque Sólido de plástico duro



Cortes muy finos de 50 a 100 nm de grosor en Un ultramicrótomo con cuchilla de vidrio o diamante

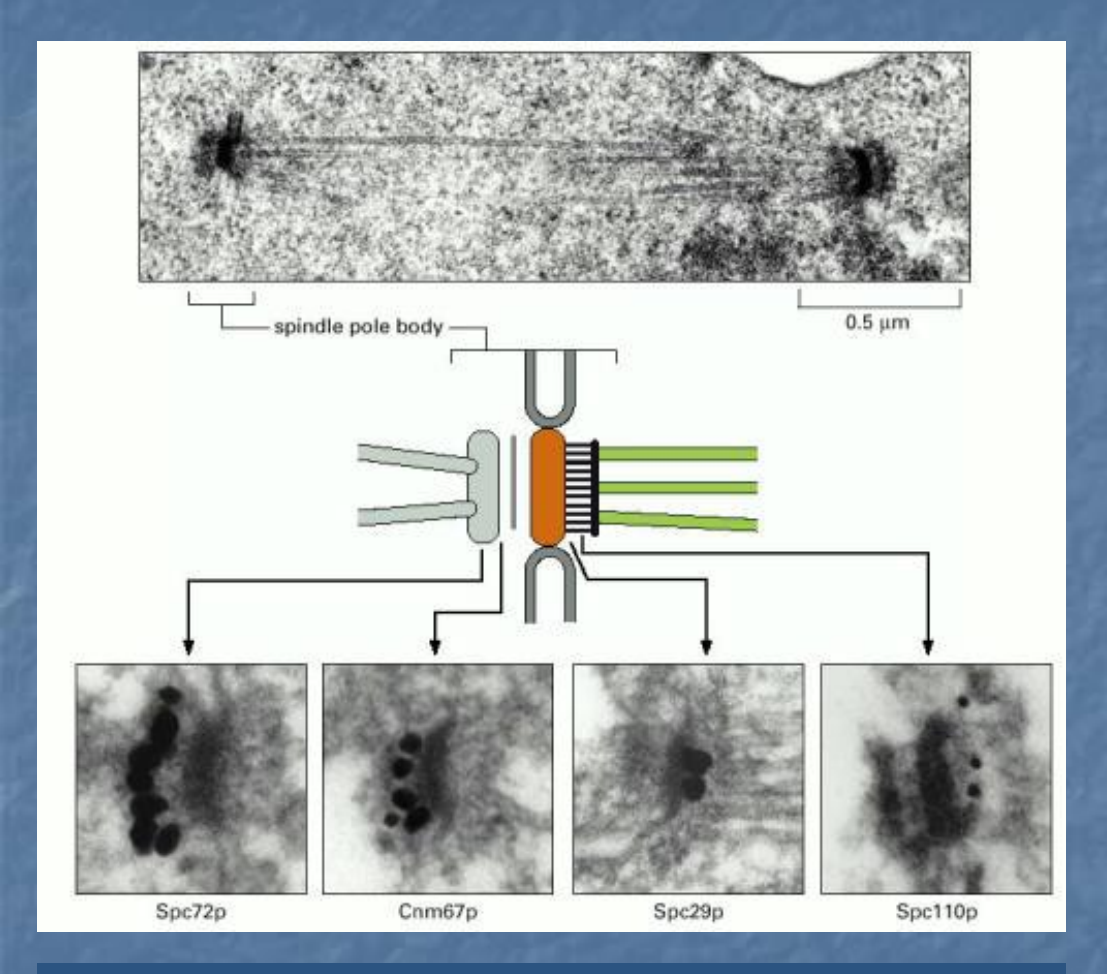


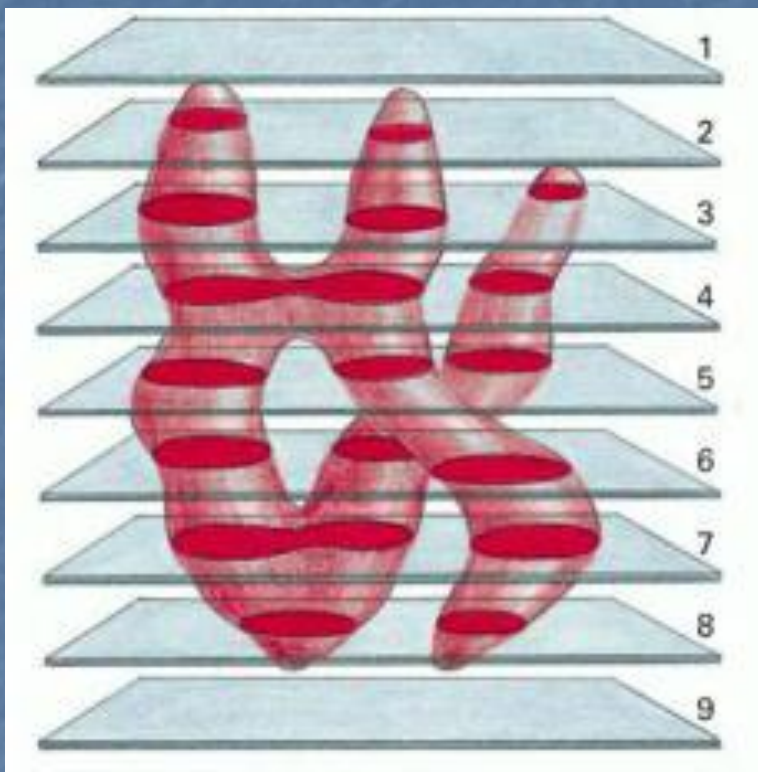
Se recogen en una grilla de cobre

Contraste con sales de metales pesados como Acetato de uranilo o acetato de plomo

# Inmunocitoquímica con anticuerpos marcados con oro coloidal

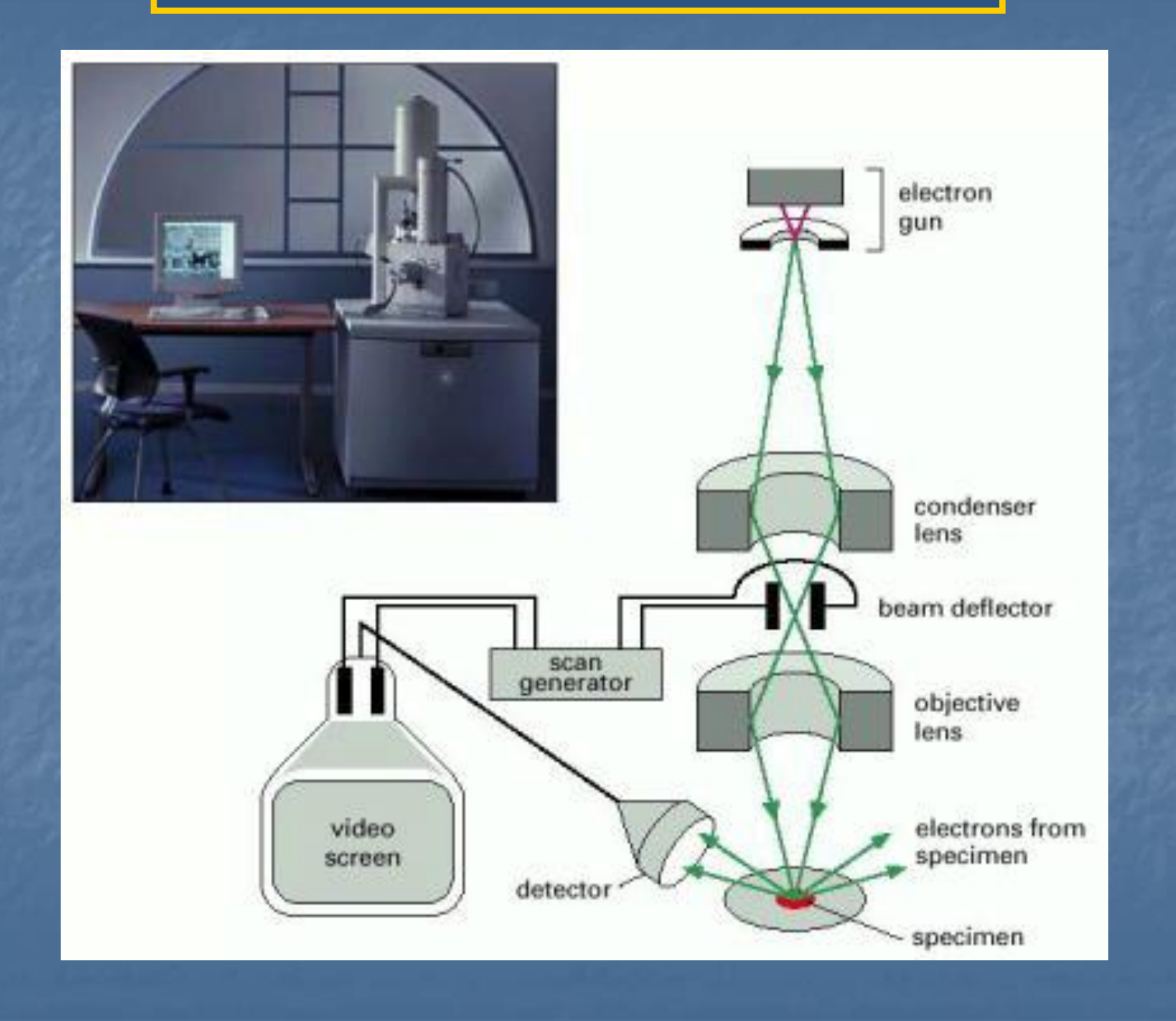
# Reconstrucción Tridimensional por cortes seriado

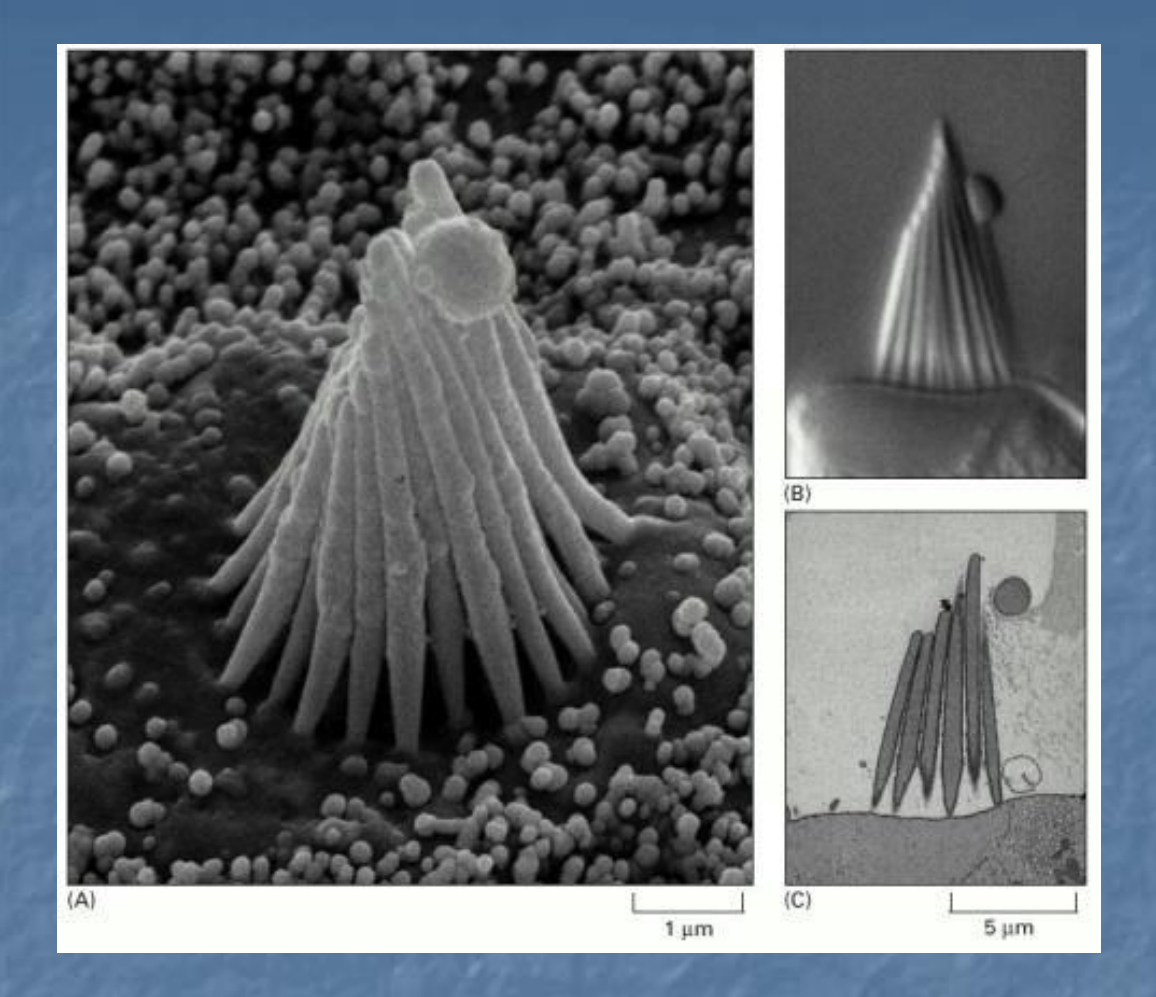


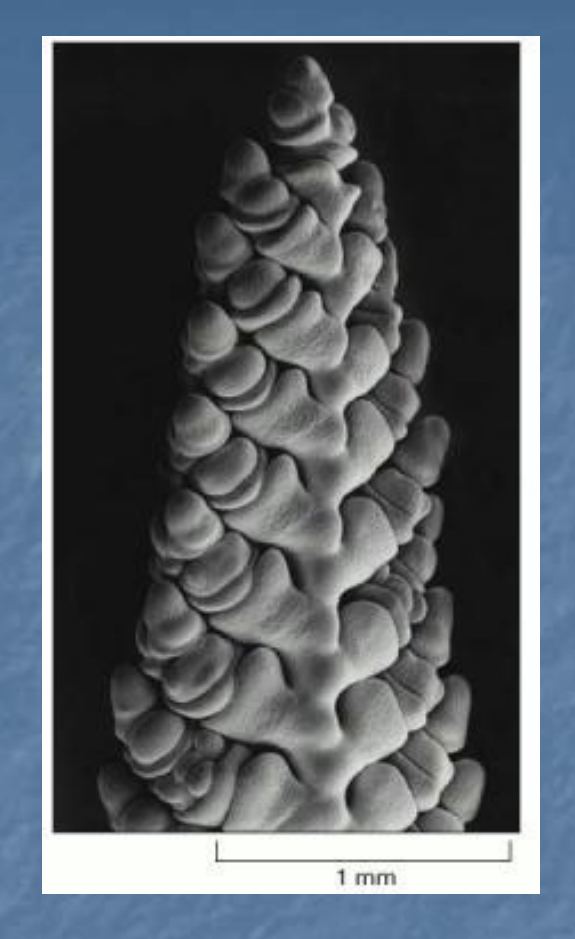


Localización de 4 proteínas en el cuerpo polar del huso mitótico de levaduras

# MICROSCOPIA ELECTRÓNICA DE BARRIDO







Estereocilla del oido interno de una rana

A: Microscopia electrónica de barrido

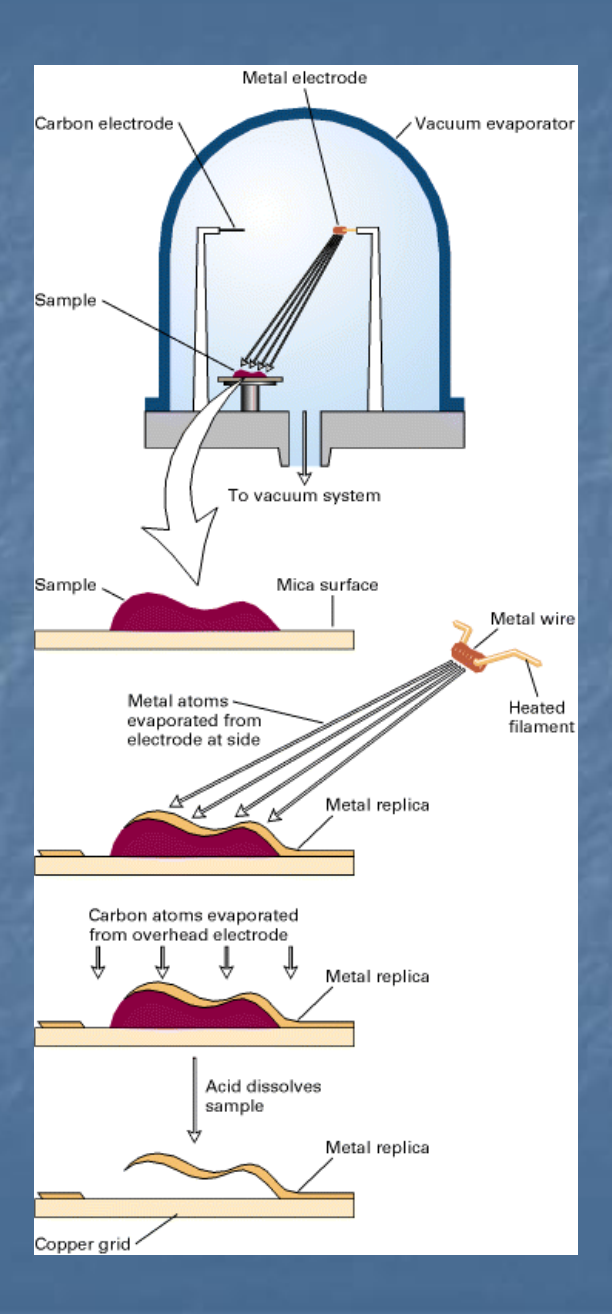
B: Microscopia de Interferencia (DIC)

C: Microscopia electrónica de transmisión

Flor del trigo o espiga Congelada y cubierta con un metal

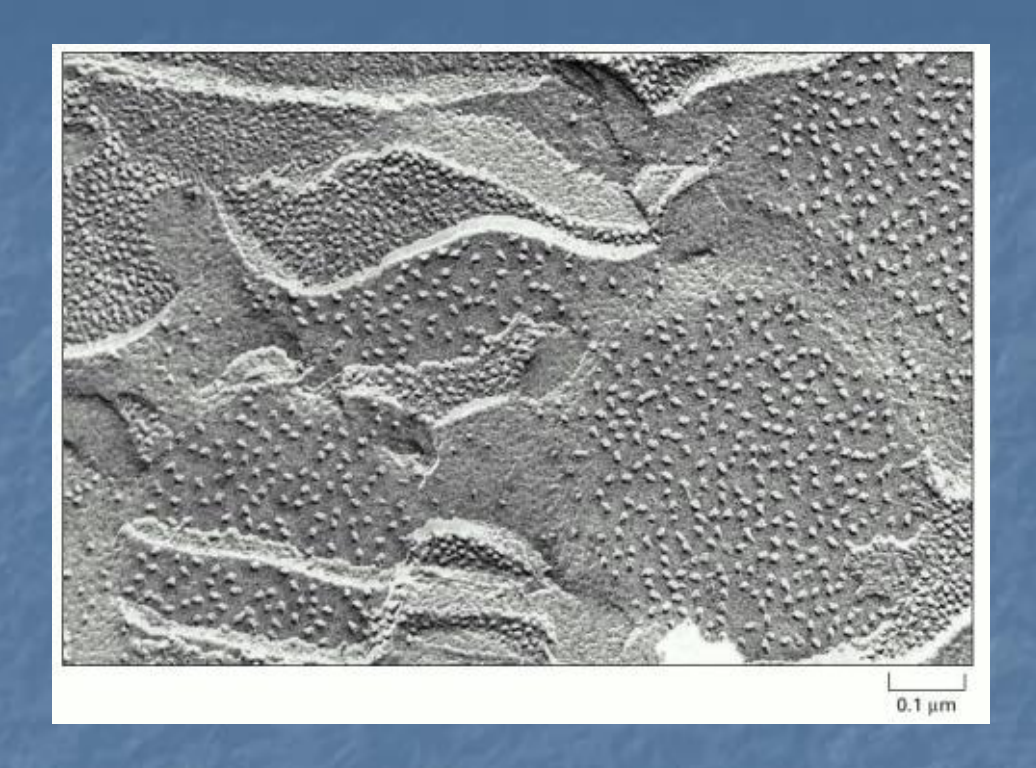
# specimen support heavy metal evaporated from a filament "shadows" the specimen a strengthening film of carbon evaporated from above the replica is floated onto the surface of a powerful solvent to dissolve away the specimen the replica is washed and picked up on a copper grid for examination

#### **Sombreo con metales**



Se produce una replica de la superficie del espécimen que puede ser observada al MET, con mayor aumento y mayor resolución que en el MEB

#### Freeze-fracture (congelamiento y fractura) y Freeze-etch



Se visualiza el interior de las membranas Las células son congeladas y luego el bloque congelado es fracturado con una cuchilla El plano de fractura pasa por la región hidrofóbica de la bicapa lipídica. Membrana del tilacoide con el complejo del fotosistema II